

# 两学分光学课程内容

## 第一章 光学导言 (3)

- 1、光与自然
- 2、惠更斯原理与费马原理

## 第二章 波动光学引言 (3)

- 1、光波的认识 (电磁波)
- 2、光波的数学描述
- 3、波前函数

## 第三章 光的干涉 (6)

- 1、概述
- 2、光波的叠加和干涉
- 3、分波前干涉—杨氏干涉
- 4、其他分波前干涉装置
- 5、分振幅干涉—薄膜干涉 (等倾和等厚干涉)
- 6、迈克耳孙干涉仪和马赫-曾得尔干涉仪
- 7、驻波和多光束干涉
- 8、时间相干性和空间相干性

## 第四章 光的衍射 (4)

- 1、惠更斯-菲涅耳原理
- 2、圆孔和圆屏菲涅耳衍射、波带片
- 3、夫琅禾费单缝衍射
- 4、夫琅禾费圆孔衍射和光学仪器的分辨本领
- 5、位移-相移定理
- 6、一维光栅、二维光栅
- 7、三维光栅—x射线晶体衍射

## 第五章 傅立叶变换光学引言 (4)

- 1、波前变换和相因子分析
- 2、余弦光栅的衍射场
- 3、傅立叶变换光学大意
- 4、阿贝成像原理与空间滤波
- 5、泽尼克的相衬法
- 6、全息术原理

## 第六章 光的偏振和光在晶体中的传播 (4)

- 1、自然光和偏振光
- 2、起偏器与检偏器、马吕斯定律
- 3、反射和散射光的偏振态
- 4、双折射现象
- 5、惠更斯作图
- 6、波片和补偿器
- 7、偏振光的干涉
- 8、人为双折射
- 9、旋光性, 测糖术

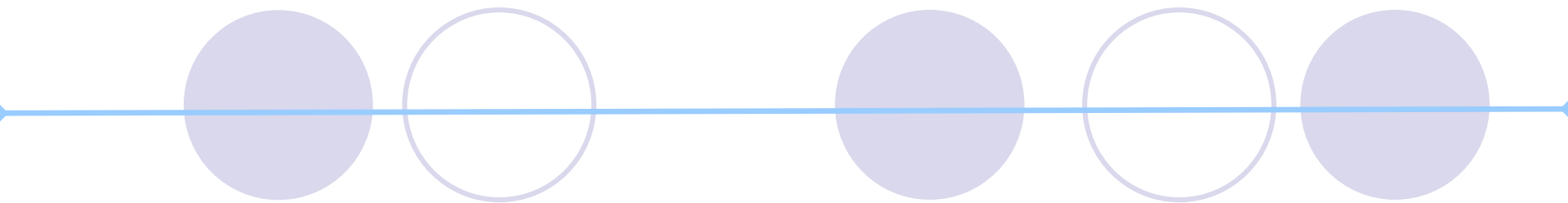
## 第七章 吸收、色散、散射 (2)

## 第八章 光子动量 (2)

## 第九章 光学与光子学新进展

(结合选修学生所属学科, 报告) (8)

共36学时

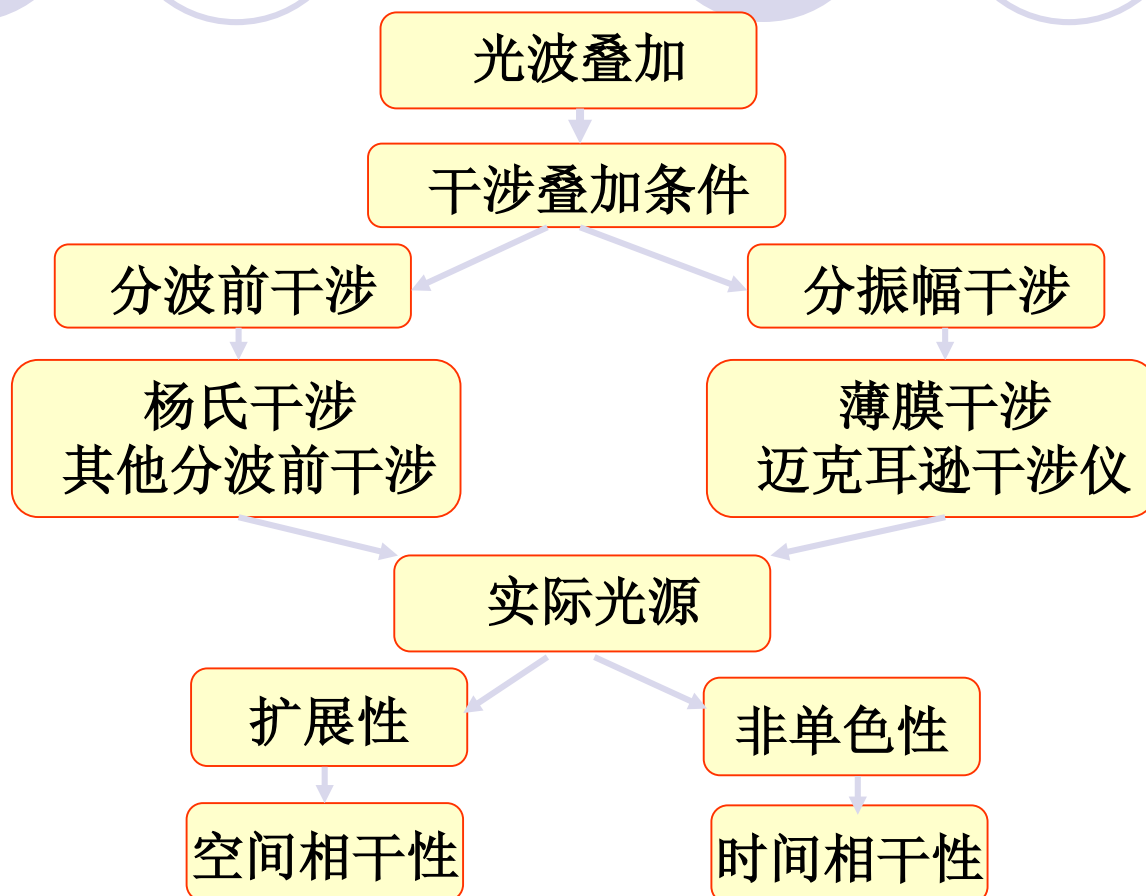
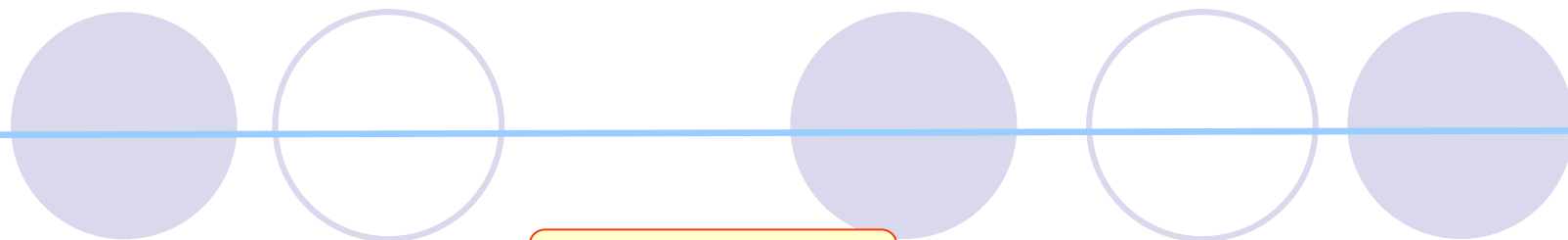


# 第三章 光的干涉

# Contents



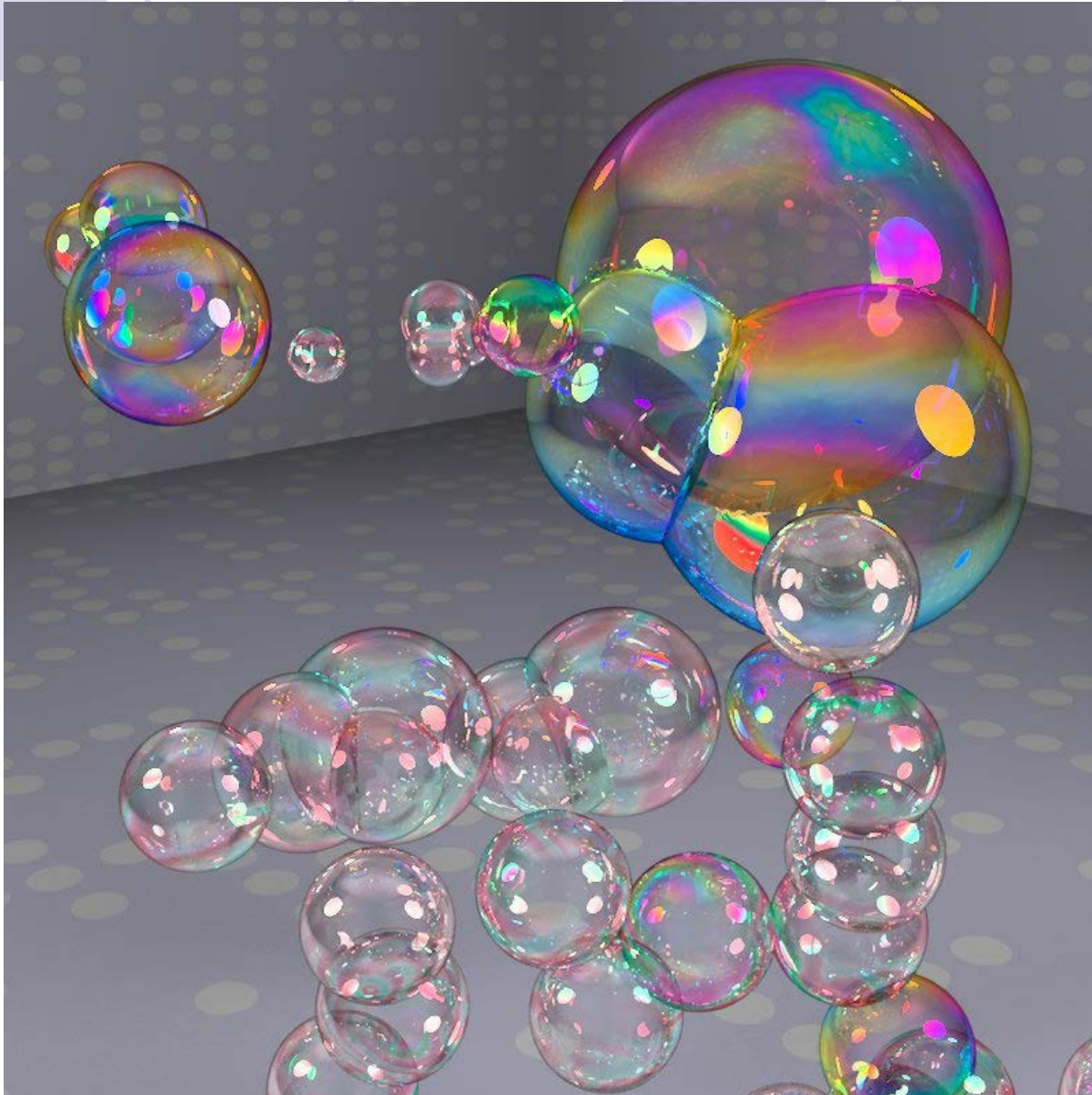
- 概述
- 光波的叠加和干涉
- 分波前干涉：杨氏干涉
- 其它分波前干涉装置
- 分振幅干涉：迈克耳孙干涉仪和马赫-曾得尔干涉仪
- 其它分振幅干涉
- 驻波和多光束干涉
- 时间相干性和空间相干性



# 1、概述

## 现实生活中的干涉现象





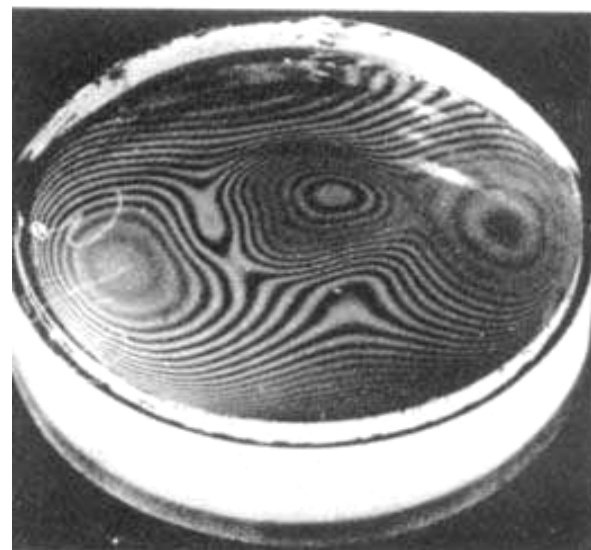




# 光波的干涉-历史

历史上，干涉现象曾经是奠定光的波动性的基础。1800年，T. Young(1773-1829)提出了反对微粒说的几条论据，并首次提出干涉这一术语，他分析了水波和声波叠加后产生的干涉现象。杨于1801年最先用双缝演示了光的干涉现象，提出波长概念，并成功地测量了光波波长。他还用干涉原理解释了白光照射下薄膜呈现的颜色。

至今，光的干涉原理已经广泛地用于精密计量、天文观测、光弹性应力分析、光学精密加工中的自动控制等许多领域。





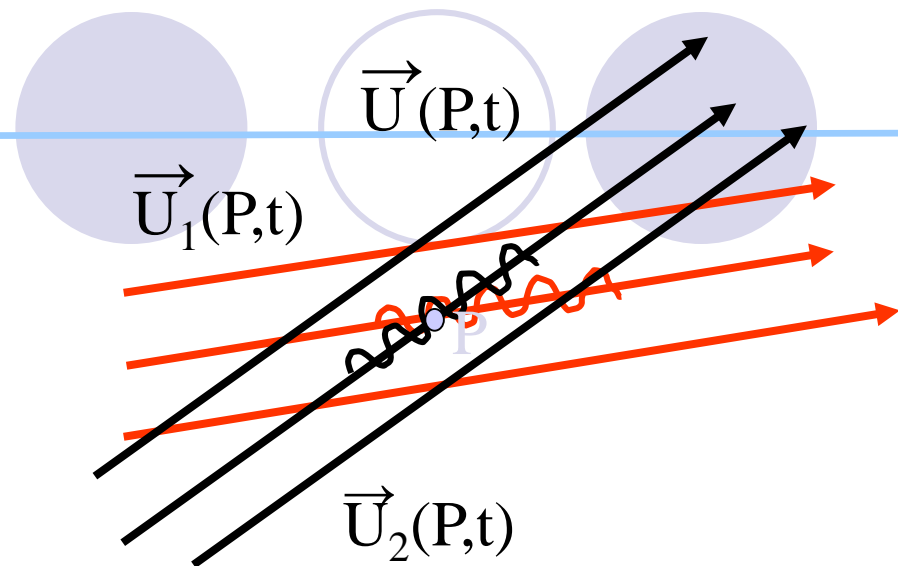
## 2、光波的叠加和干涉

波的独立传播原理



$$\vec{U}(P, t) = \vec{U}_1(P, t) + \vec{U}_2(P, t)$$

波的叠加原理



在通常介质和通常光强下，波的叠加原理总是成立的。

$$\vec{U}(P, t) \neq \vec{U}_1(P, t) + \vec{U}_2(P, t) ???$$

请思考！

# 光的独立传播与光强分布（振幅叠加-强度叠加）

光强定义 
$$I \equiv \frac{1}{\Delta t} \int_0^{\Delta t} |U(t)|^2 dt \equiv \langle |U(t)|^2 \rangle$$

单位时间内，在垂直于能流方向的单位面积上通过的能量时间平均值

$\Delta t$ 是测量时间；对于简谐波，可取为周期 $T$

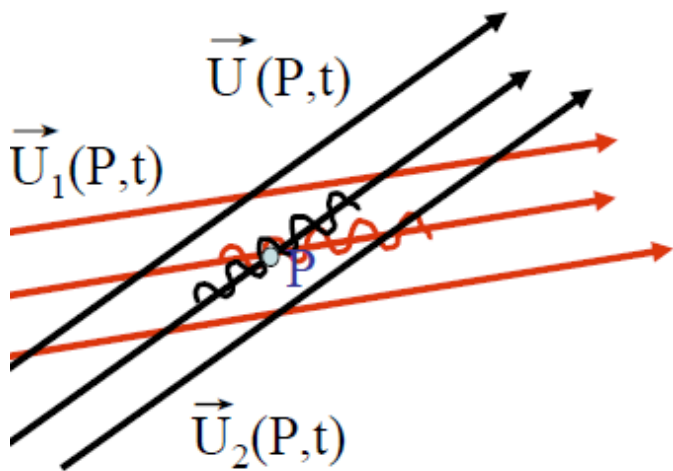
$U_1$ 和 $U_2$ 单独存在的时候在 $P$ 点的光强：

$$I_1(P) = \langle |U_1|^2 \rangle; I_2(P) = \langle |U_2|^2 \rangle$$

$U_1$ 和 $U_2$ 同时存在时， $P$ 点的光强？

$$I(P) \equiv \langle |\bar{U}_1|^2 \rangle + \langle |\bar{U}_2|^2 \rangle \quad ???$$

$$I(P) \equiv \langle |\bar{U}_1 + \bar{U}_2|^2 \rangle = \langle |\bar{U}_1|^2 \rangle + \langle |\bar{U}_2|^2 \rangle + 2\langle \bar{U}_1 \cdot \bar{U}_2 \rangle$$



$$I(P) = I_1(P) + I_2(P) + \Delta I(P)$$

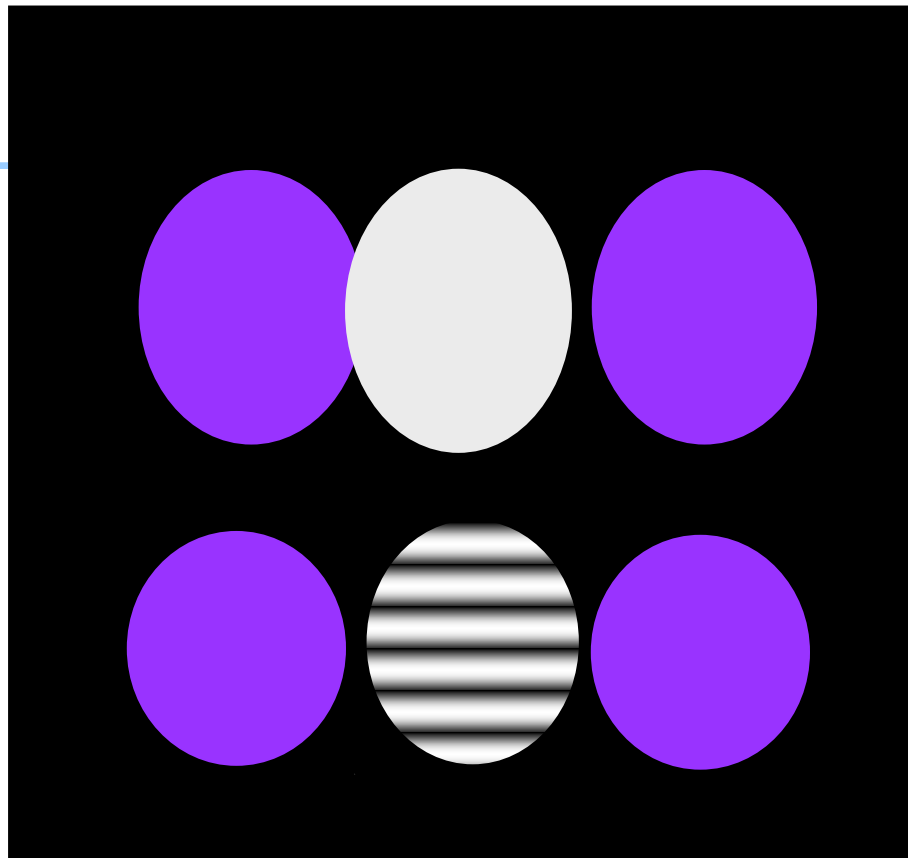
## 波叠加的相干条件

(1) 非相干叠加:  $\langle \vec{U}_1 \cdot \vec{U}_2 \rangle \equiv 0$

$$I(P) = I_1(P) + I_2(P)$$

(2) 相干叠加:  $\langle \vec{U}_1 \cdot \vec{U}_2 \rangle \neq 0$

$$I(P) = I_1(P) + I_2(P) + \Delta I(P)$$

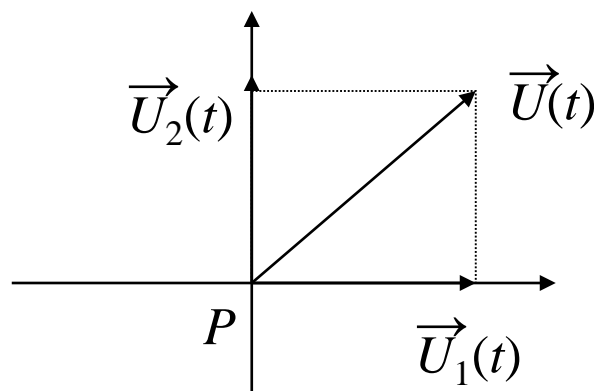


交叠区出现明暗相间的条纹,  $\Delta I(P)$ 是空间函数, 使得光强在空间有一定的分布,  $\Delta I(P)$ 成为干涉项。

问题: 相干叠加条件?

## 稳定干涉的三个条件

1. 两列波的扰动方向一致，或有方向一致的平行分量。  
如果正交，必然是非相干叠加。



$$\vec{U}_1 \perp \vec{U}_2,$$

$$U^2(t) = U_1^2(t) + U_2^2(t)$$

$$\text{取时间平均: } \langle U^2(t) \rangle = \langle U_1^2(t) \rangle + \langle U_2^2(t) \rangle,$$

$$\text{所以: } I(P) = I_1(P) + I_2(P) \quad \longrightarrow \quad \text{非相干叠加}$$

## 稳定干涉的三个条件

2. 频率相同是相干的另一条件。

两列波若频率不同，必然为非相干叠加。

$$U_1(P, t) = A_1 \cos(\omega_1 t - \phi_1(P)); U_2(P, t) = A_2 \cos(\omega_2 t - \phi_2(P))$$

叠加原理:  $U(P, t) = U_1(P, t) + U_2(P, t)$

$$\begin{aligned} \text{光强: } I(P) &= \langle U^2 \rangle = \langle (U_1 + U_2)^2 \rangle = \langle U_1^2 + U_2^2 + 2U_1U_2 \rangle \\ &= \langle U_1^2 \rangle + \langle U_2^2 \rangle + 2\langle U_1U_2 \rangle \\ &= I_1(P) + I_2(P) + \Delta I(P) \end{aligned}$$



是否为零决定了是否是相干叠加

推导!



## 稳定干涉的三个条件

2. 频率相同是相干的另一条件。

两列波若频率不同，必然为非相干叠加。

$$\begin{aligned}\Delta I(P) &= 2\langle U_1 U_2 \rangle = \langle 2A_1 A_2 \cos(\omega_1 t - \varphi_1(P)) \cos(\omega_2 t - \varphi_2(P)) \rangle \\ &= A_1 A_2 \langle \cos((\omega_1 + \omega_2)t - (\varphi_1 + \varphi_2)) \rangle + A_1 A_2 \langle \cos((\omega_1 - \omega_2)t - (\varphi_1 - \varphi_2)) \rangle \\ &\quad 0\end{aligned}$$

如果  $\omega_1 \neq \omega_2$ ，此项为零；

此时， $I(P) = I_1(P) + I_2(P)$  为非相干叠加！

如果  $\omega_1 = \omega_2$ ，此项有可能不为零；

此时， $I(P) = I_1(P) + I_2(P) + \Delta I(P)$

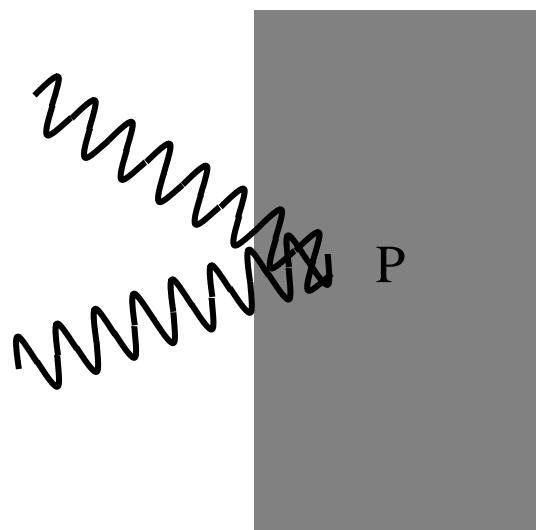
$$\text{其中 } \Delta I(P) = A_1 A_2 \langle \cos(\phi_1 - \phi_2) \rangle = 2\sqrt{I_1 I_2} \langle \cos \delta(P) \rangle$$

$\langle \cos(\delta(P)) \rangle$  决定了干涉条纹的空间分布

## 稳定干涉的三个条件

3. 稳定的相位差，才能获得稳定干涉图样

$$I(P) = I_1(P) + I_2(P) + 2\sqrt{I_1 I_2} \langle \cos \delta(P) \rangle$$



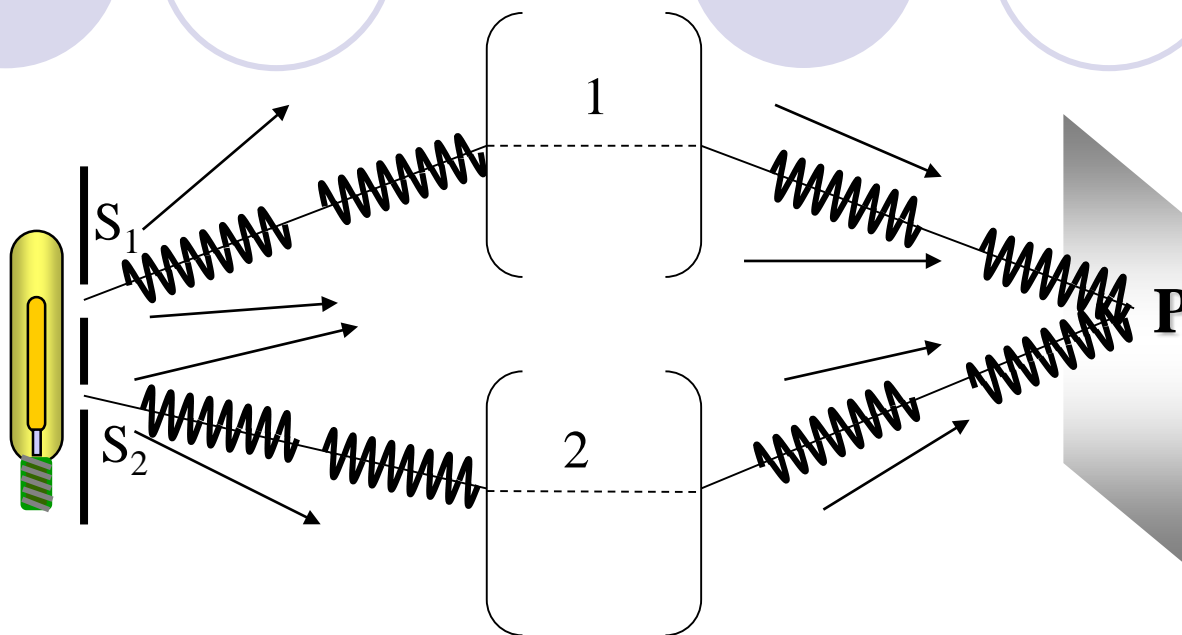
## 三个相干条件的针对性



- **相同偏振分量：**针对于矢量波，光波矢量波，且是横波。
- **相同频率：**针对于任何波。
- **稳定相位差：**对于宏观波源发出的波，稳定不是问题。

对于光波要认真考虑。

# 相位差的产生



$$\varphi_1(P) = \varphi_{10}(t) + \frac{2\pi}{\lambda} L_{S_1 P}$$

发光的初始相位

由光程决定，对时间要稳定

$$\varphi_2(P) = \varphi_{20}(t) + \frac{2\pi}{\lambda} L_{S_2 P}$$

## 相位差的稳定

$$I(P) = I_1(P) + I_2(P) + 2\sqrt{I_1 I_2} \langle \cos \delta(P) \rangle$$

$$\delta(P) = \varphi_1(P) - \varphi_2(P)$$

$$= \frac{2\pi}{\lambda} [L_{S_1 1P} - L_{S_2 2P}] + \underbrace{[\varphi_{10}(t) - \varphi_{20}(t)]}$$



稳定取决于此

普通光源是否满足呢？



# 光源：能发射光波的物体

光源的最基本发光单元是分子、原子、量子点等

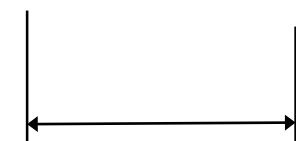
能级跃迁辐射



$$\nu = (E_2 - E_1)/h$$



波列 



波列长  $L = \tau c$

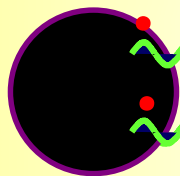
$$\tau < 10^{-8} s$$

普通光源：

自发辐射

- 发光的间隙性
- 发光的随机性

光源



独立(不同原子发的光)

独立(同一原子先后发的光)

两个独立的普通光源不可能成为一对相干光源

光源：能发射光波的物体

钠  
光  
灯



两束光  
不相干！

原因：发光是随机的，间歇性的。

两列光波相位差不可能恒定。

## 光源：能发射光波的物体

问题：对于一个普通的点光源，可以随机发射任意初始位相的光波。那么透过双缝后是否会发生干涉？

进一步说：点光源发射的是球面波，其波前等相位，即

$$\varphi_1(t) = \varphi_2(t)$$

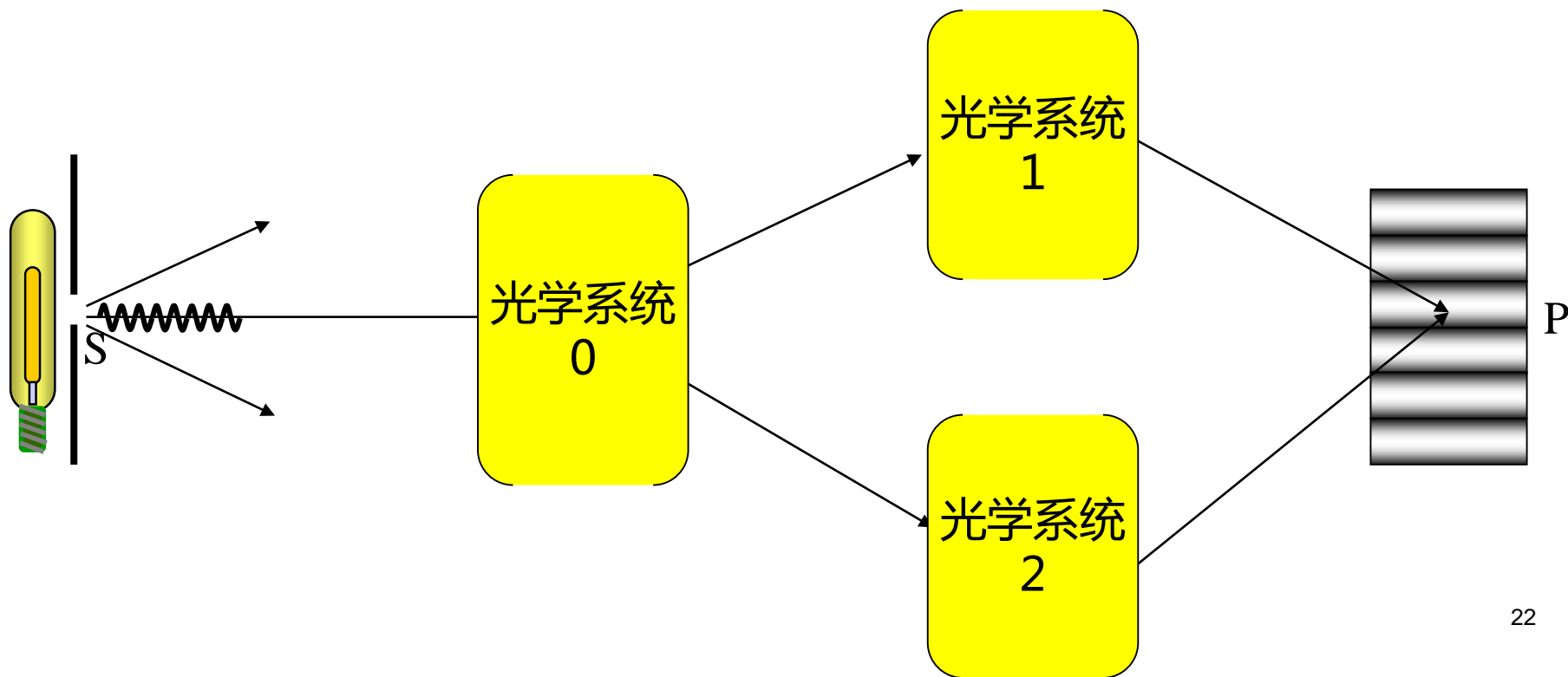
那么，作为自然光源的点光源，是否能产生干涉现象呢？

点光源所发出的波列并非为指向某一方向的波动，而是弥散在空间的球面波。从此球面波前上任意固定两点，其位相差对于任何发射出的波列来说都是相等的。因此，从此点光源的波前上取得的两点，都可以发生干涉效应。我们以单一光子来看，每一个光子都可以产生干涉条纹。因此，观察干涉的条件就是点光源。<sup>21</sup>

# 能否利用普通光源获得相干光？

利用普通光源获得相干光的方法的基本原理是：把由光源上同一点同一次发的光设法分成两部分，然后再使这两部分叠加起来。

由于这两部分光实际上都来自同一发光原子的同一次发光，它们满足相干条件而成为相干光。分开之后所走的路程不同，导致光波的相位不同，根据其差别分别产生干涉加强或者减弱。



能否利用普通光源获得相干光？

$$\delta(P) = \varphi_1(P) - \varphi_2(P)$$

$$= -\frac{2\pi}{\lambda} [L_{S01P} - L_{S02P}] + \underbrace{[\varphi_{10}(t) - \varphi_{20}(t)]}_{\downarrow 0}$$

$$= -\frac{2\pi}{\lambda} [L_{S01P} - L_{S02P}]$$

↓

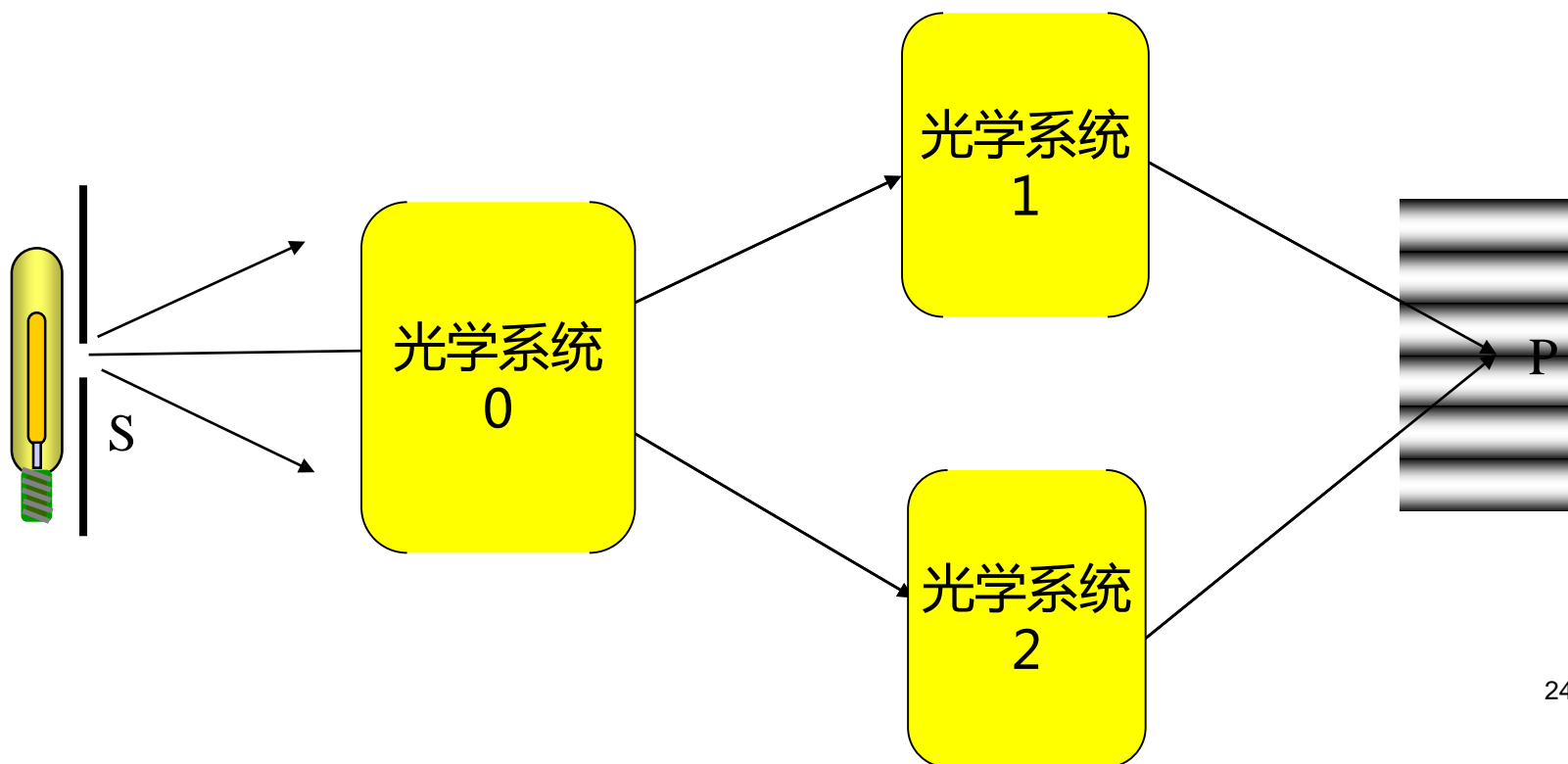
与初始相位无关，  
对时间稳定。



能否利用普通光源获得相干光？

$$I(P) = I_1(P) + I_2(P) + 2\sqrt{I_1 I_2} \langle \cos \delta(P) \rangle$$

$$I(P) = I_1(P) + I_2(P) + 2\sqrt{I_1 I_2} \cos \delta(P)$$



## 干涉的结果：干涉场光强分布

双光束干涉  $I(P) = I_1(P) + I_2(P) + 2\sqrt{I_1 I_2} \cos \delta(P)$

关键：双（多）光束干涉中的 “ $\delta(P)$ ”

□ 光波的叠加原理，观察屏上的波前函数为：

$$\tilde{U}(x, y) = \tilde{U}_1(x, y) + \tilde{U}_2(x, y) + \dots$$

□ 观察屏上光强分布：

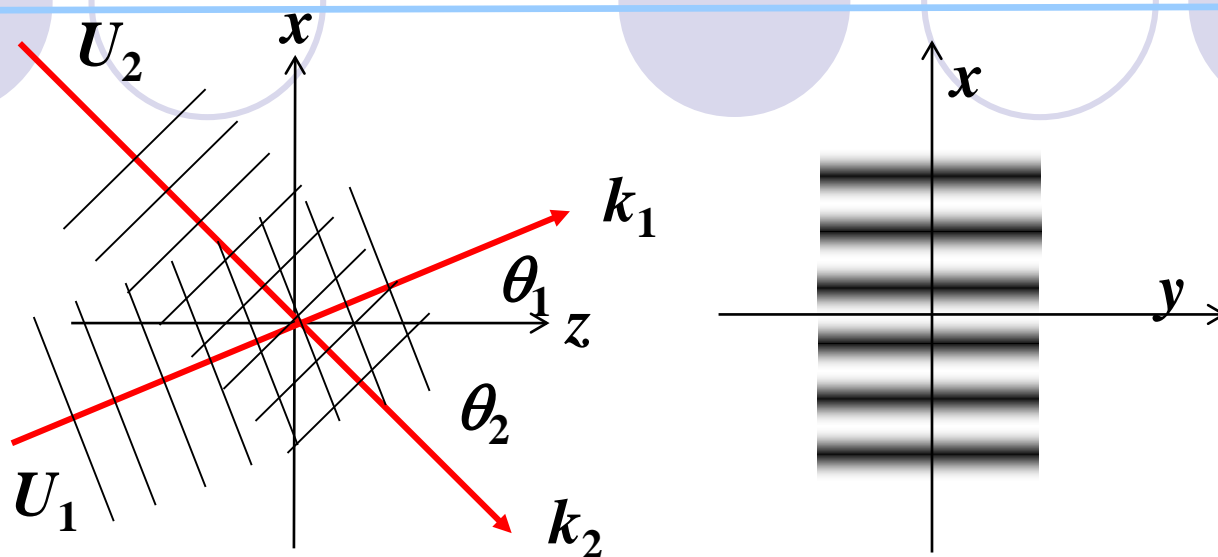
$$\begin{aligned} I(x, y) &= \tilde{U}(x, y) \cdot \tilde{U}^*(x, y) \\ &= (\tilde{U}_1(x, y) + \tilde{U}_2(x, y) + \dots) \cdot (\tilde{U}_1(x, y) + \tilde{U}_2(x, y) + \dots)^* \end{aligned}$$

□ 几种常用波前函数：

$$\tilde{U}(x, y) = A e^{i(k_x \cdot x + k_y \cdot y)} \quad \tilde{U}(x, y) \approx \frac{A}{z_0} e^{ik \frac{x^2 + y^2}{2z_0}} \cdot e^{-ik \frac{xx_0 + yy_0}{z_0}}$$

$$\tilde{U}(x, y) \approx \frac{A}{z_0} e^{-ik \frac{x^2 + y^2}{2z_0}} \cdot e^{ik \frac{xx_0 + yy_0}{z_0}}$$

# 平行光干涉



$$\tilde{U}_1(x, y) = A_1 e^{i(k \sin \theta_1 \cdot x - \phi_{10})}$$

$$\tilde{U}_2(x, y) = A_2 e^{i(-k \sin \theta_2 \cdot x - \phi_{20})}$$

$$I(x, y) = (\tilde{U}_1 + \tilde{U}_2) \cdot (\tilde{U}_1 + \tilde{U}_2)^*$$

$$= \tilde{U}_1 \cdot \tilde{U}_1^* + \tilde{U}_2 \cdot \tilde{U}_2^* + \tilde{U}_1 \cdot \tilde{U}_2^* + \tilde{U}_2 \cdot \tilde{U}_1^*$$

$$= \underbrace{A_1^2}_{I_1} + \underbrace{A_2^2}_{I_2} + 2A_1A_2 \cos[k(\sin \theta_1 + \sin \theta_2)x - (\phi_{10} - \phi_{20})]$$

$$= I_1 + I_2 + 2\sqrt{I_1 I_2} \cos \delta(x, y)$$

# 平行光干涉

条纹表象：余弦调制

表达参数：条纹间距（空间周期、频率）、衬比度

A、条纹间距：

$$\Delta\delta = 2\pi, \quad \text{即} \quad k(\sin\theta_1 + \sin\theta_2)\Delta x = 2\pi$$

$$k = \frac{2\pi}{\lambda}$$

⇒ 条纹间距公式  $\Delta x = \frac{\lambda}{\sin\theta_1 + \sin\theta_2}$

## 平行光干涉

条纹间距的倒数被定义成空间频率，记为 $f$ ，常用单位 $\text{mm}^{-1}$

$$f = \frac{1}{\Delta x} \longrightarrow \text{空间频率}$$

两平行光干涉的空间频率：

$$f = \frac{\sin \theta_1 + \sin \theta_2}{\lambda}$$

干涉场强度空间分布可以用空间频率改写成：

$$\underline{I = I_0(1 + \gamma \cos(2\pi f x + \phi_0))}, \quad I_0 = I_1 + I_2$$



## 两种典型的光路获得空间高频和低频

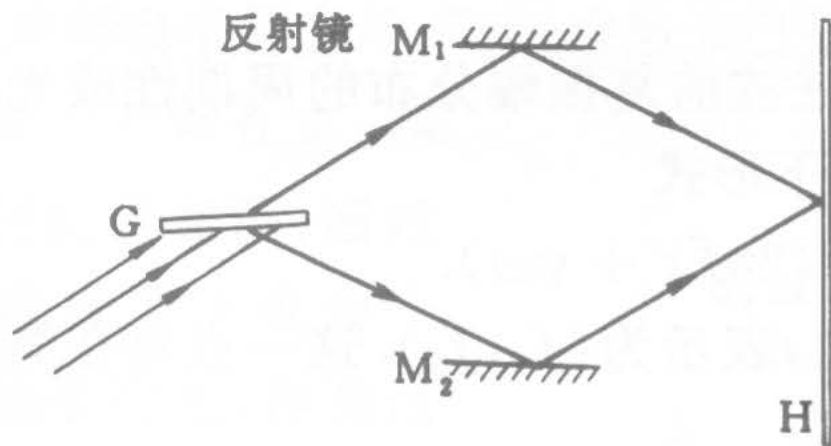


图 2.23 大角度相干以获得高频余弦光栅

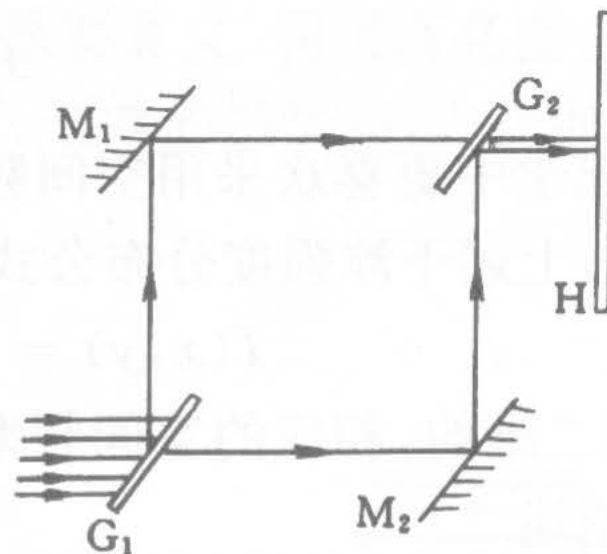


图 2.24 小角度相干以获得低频余弦光栅

# 平行光干涉

**例1**、两束相干的平行光，传播方向角 $\theta_1=\pi/6$ ， $\theta_2=\pi/4$ ，光波长为**633nm**，求干涉条纹的间距和空间频率？

间距：
$$\Delta x = \frac{\lambda}{\sin \theta_1 + \sin \theta_2} = \frac{633nm}{\sin \frac{\pi}{6} + \sin \frac{\pi}{4}} \approx 0.53\mu m$$

空间频率：
$$f = \frac{1}{\Delta x} = \frac{1}{0.53\mu m} \approx 1896mm^{-1}$$

**例2**、想获得低频 **$f=20mm^{-1}$** ，求两平行光的夹角，设光波长为**633nm**。

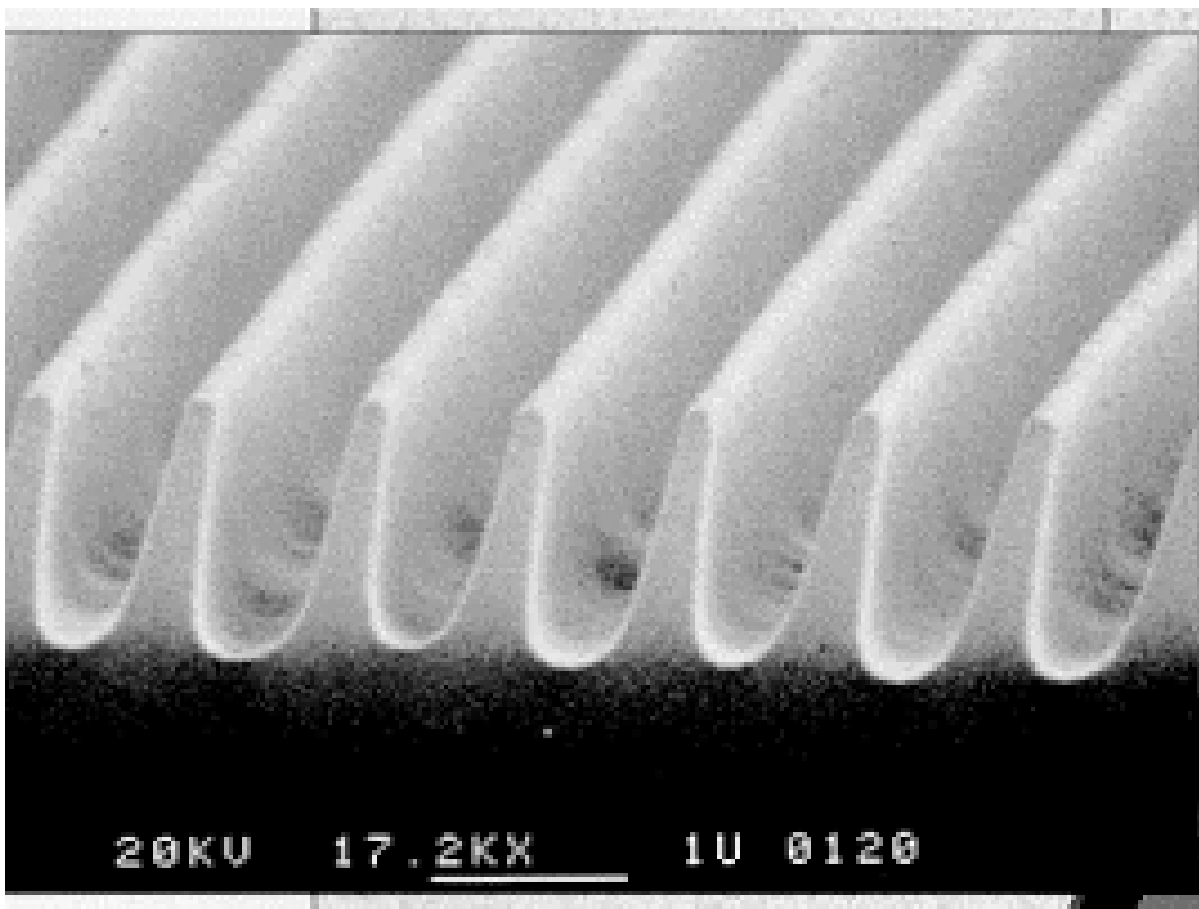
$$f = \frac{\sin \theta_1 + \sin \theta_2}{\lambda} \approx \frac{\theta_1 + \theta_2}{\lambda} = \frac{\Delta \theta}{\lambda}$$

于是：

$$\Delta \theta \approx f\lambda = 20 \times 633 \frac{nm}{mm} \approx 0.013rad \approx 45'$$

大夹角 $\Leftrightarrow$ 高空间频率，小夹角 $\Leftrightarrow$ 低空间频率

# 平行光干涉



双光束干涉是制备大面积光栅的重要方法。

# 平行光干涉

## B、衬比度:

双光束干涉强度公式:

$$I(P) = I_1(P) + I_2(P) + 2\sqrt{I_1 I_2} \cos \delta(P)$$

极大  $I_M = I_1 + I_2 + 2\sqrt{I_1 I_2}, \quad \delta = 2k\pi$

极小  $I_m = I_1 + I_2 - 2\sqrt{I_1 I_2}, \quad \delta = (2k + 1)\pi$

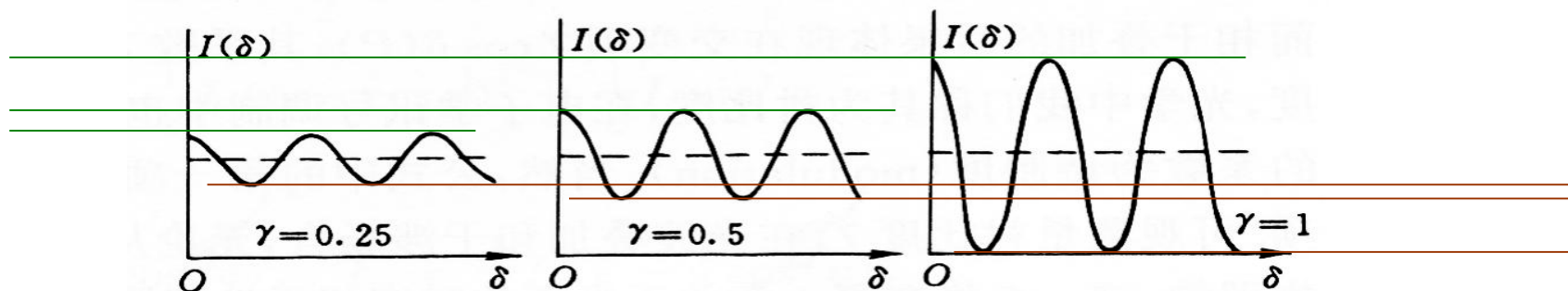
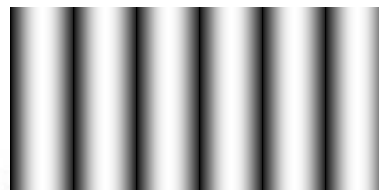
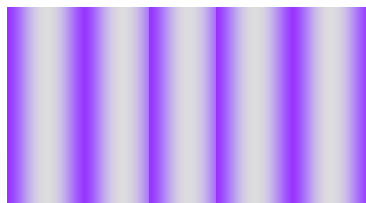


图 2.14 干涉场强度起伏程度由衬比度描述

平行光干涉

衬比度:

$$\gamma = \frac{I_M - I_m}{I_M + I_m}$$

最大光强

最小光强

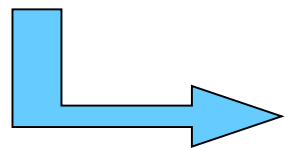
## 衬比度的决定因素之一：（双光束）振幅比

$$I(P) = I_1(P) + I_2(P) + 2\sqrt{I_1 I_2} \cos \delta(P)$$

双光束干涉强度公式

$$I_M = I_1 + I_2 + 2\sqrt{I_1 I_2}, \quad \delta = 2k\pi$$

$$I_m = I_1 + I_2 - 2\sqrt{I_1 I_2}, \quad \delta = (2k + 1)\pi$$



$$\gamma = \frac{I_M - I_m}{I_M + I_m}$$

$$\gamma = \frac{2\sqrt{I_1 I_2}}{I_1 + I_2} \xrightarrow{I \propto A^2} \gamma = \frac{2 \frac{A_1}{A_2}}{1 + \left(\frac{A_1}{A_2}\right)^2} \quad \text{或} \quad \gamma = \frac{2 \frac{A_2}{A_1}}{1 + \left(\frac{A_2}{A_1}\right)^2}$$

## 衬比度的决定因素之一：（双光束）振幅比

例如：

$$\frac{A_1}{A_2} = 1 \rightarrow \gamma = 1; \quad \frac{A_1}{A_2} = 3 \rightarrow \gamma = 0.6; \quad \frac{A_1}{A_2} = 10 \rightarrow \gamma = 0.2$$

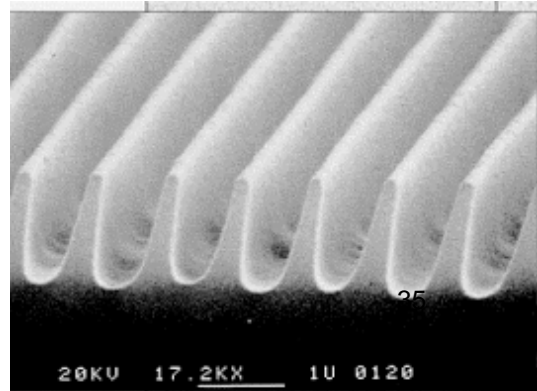
$$0 \leq \gamma \leq 1$$

双光束干涉强度公式可以写成衬比度的形式：

$$I = I_0 (1 + \gamma \cos \delta(P)), \quad I_0 = I_1 + I_2$$

结论：实验中要获得高衬比度的干涉图样，需要：

参与相干叠加的两光束，振幅尽量相等



## 衬比度决定因素之二：偏振

$$I_1 = I_2 = I$$

偏振分析：s、p

$$I_{1s} = I_{2s} = I_{1p} = I_{2p} = \frac{1}{2} I$$

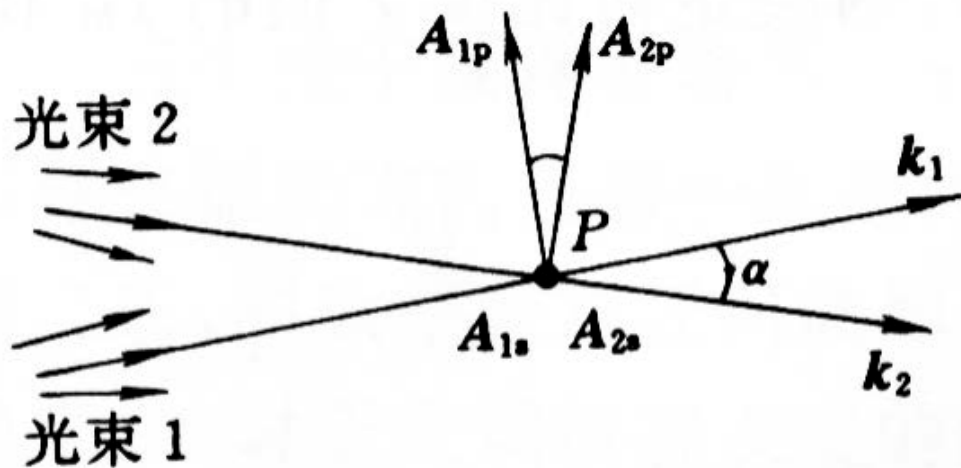


图 2.15 考察自然光干涉的衬比度

s光:

$$I_s(P) = I_{1s}(P) + I_{2s}(P) + 2\sqrt{I_{1s}I_{2s}} \cos \delta(P)$$

$$I_{Ms} = 2I, \quad I_{ms} = 0$$



## 衬比度决定因素之二：偏振

对p光：

$$U_p^2 = U_{1p}^2 + U_{2p}^2 + 2U_{1p}U_{2p}\cos\alpha$$

$$\langle U_p^2 \rangle = \langle U_{1p}^2 \rangle + \langle U_{2p}^2 \rangle + \langle 2U_{1p}U_{2p}\cos\alpha \rangle$$

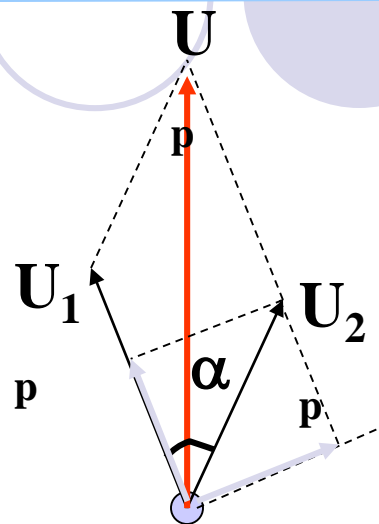
$$I_p = I_{1p} + I_{2p} + 2\sqrt{I_{1p}I_{2p}}\cos\alpha \cdot \cos\delta(P)$$

$$I_{Mp} = I(1 + \cos\alpha) \quad , \quad I_{mp} = I(1 - \cos\alpha)$$

$$I_M = I_{Ms} + I_{Mp} = I(3 + \cos\alpha)$$

$$I_m = I_{ms} + I_{mp} = I(1 - \cos\alpha)$$

$$\gamma = \frac{I_M - I_m}{I_M + I_m} = \frac{1 + \cos\alpha}{2}$$



## 衬比度决定因素之二：偏振

当  $\alpha = 10^\circ$ ,  $\gamma \approx 0.99$ ; 当  $\alpha = 20^\circ$ ,  $\gamma \approx 0.97$ ;

当  $\alpha = 30^\circ$ ,  $\gamma \approx 0.93$ ; 当  $\alpha = 60^\circ$ ,  $\gamma \approx 0.75$ ;

在傍轴情况下,  $\alpha < 20^\circ$  是,  $\gamma$  与 1 接近, 可以把自然光干涉看成标量干涉。

### 更普遍的意义:

双光束之间偏振的相关性: 相同偏振方向的分量发生干涉, 不同的偏振分量作为背景存在。

# 普通光源的干涉实验

前面已经讲到：为了消除普通光源随机性所引起的场点相位无规跃变的影响，我们需借助光学系统，将点光源发出的一列光波分解为二，使其经过不同路径后再重新交叠。由于这样得到的两列波来自同一点源，故它们频率相同，位相差稳定，且存在振动方向一致的平行分量，满足相干条件。

使一列波先分解再交叠的方法：

- 分波前法/波阵面分割(Division of wavefront)
- 分振幅法/振幅分割(Division of amplitude)

Division of wavefront: 杨氏干涉，菲涅耳双面镜和双棱镜，  
比累(Billet)剖开透镜，迈克耳孙测星干涉仪，...

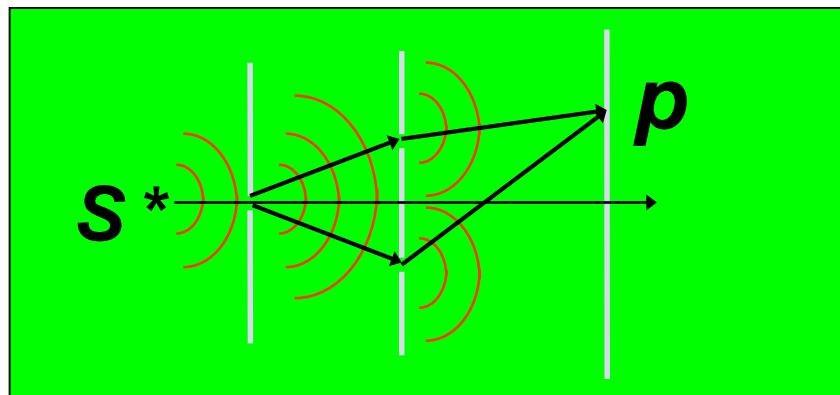
Division of amplitude: 斐索干涉仪，迈克耳孙干涉仪，特怀曼-格林干涉仪  
雅满(Jamin)干涉仪，马赫-曾德尔干涉仪，...

驻波和多光束干涉

## A. 分波前干涉

从同一波面上取不同部分产生次波相干

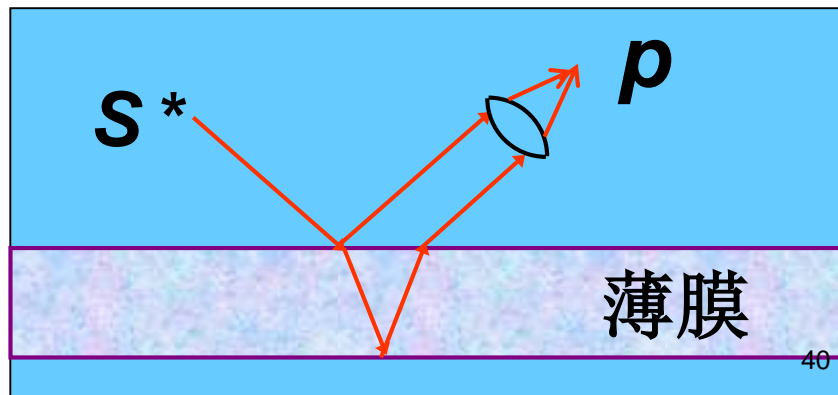
杨氏双孔干涉



## B. 分振幅干涉

利用介质表面反射和透射将波前振幅分解成两部分

薄膜干涉



### 3、 Division of wavefront: 杨氏干涉



Thomas Young 1773 ~ 1829

英国物理学家，考古学家，医生。光的波动说的奠基人之一。1773年6月13日生于米尔费顿，曾在伦敦大学、爱丁堡大学和格丁根大学学习，伦敦皇家学会会员，巴黎科学院院士。1829年5月10日在伦敦逝世。

《自然哲学与机械工艺课程》(1807年)

《医学文献介绍及实用疾病分类学》(1813)

《拉普拉斯天体力学原理阐明》(1821)

《声和光的实验和探索纲要》(1801)

1793年写了第一篇关于视觉的论文，发现了眼睛中晶状体的聚焦作用，他成为皇家学会会员。1801年发现眼睛散光的原因，由此进入光学的研究领域。

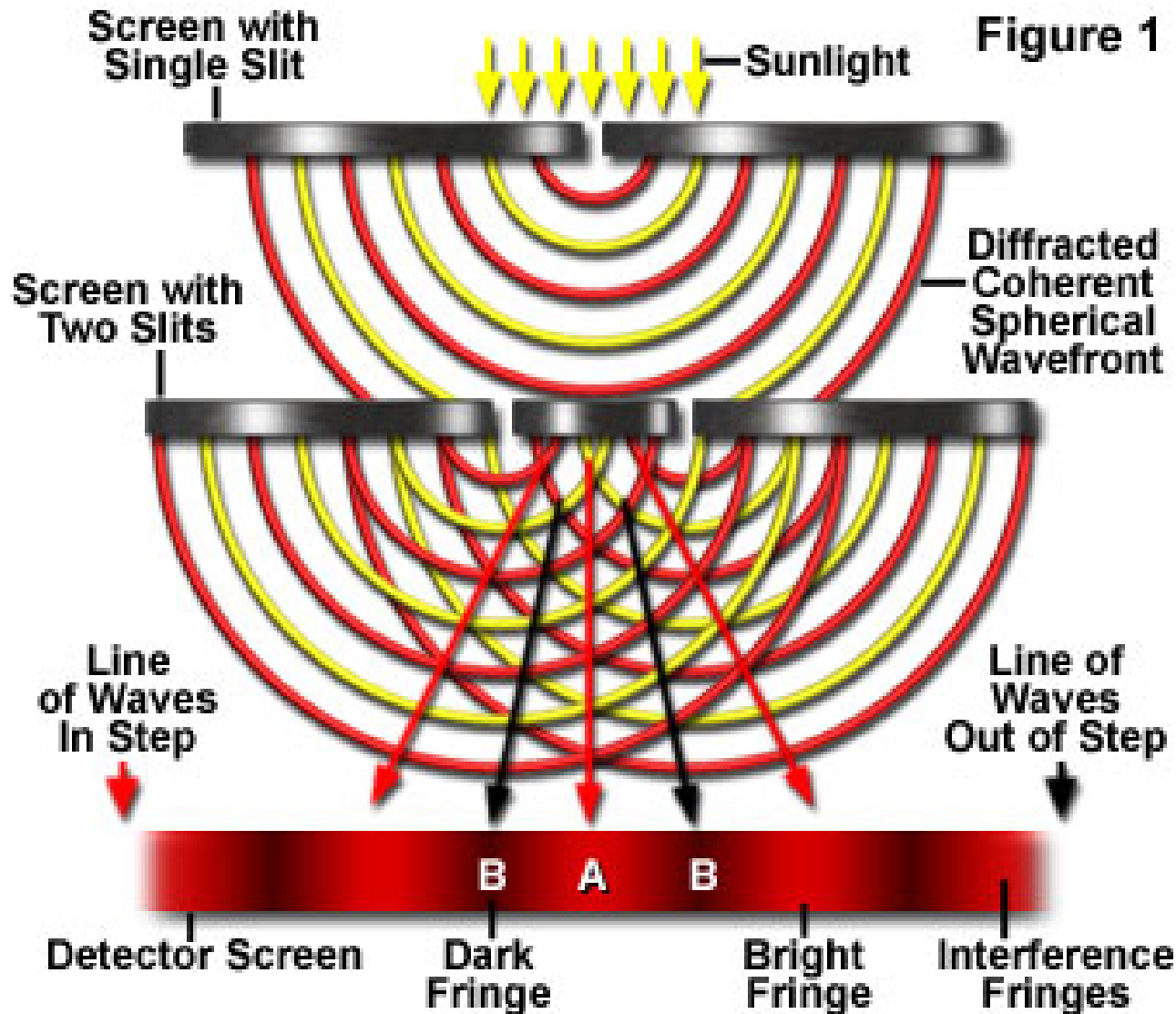
杨爱好乐器，几乎能演奏当时的所有乐器，这种才能与他对声振动的深入研究是分不开的。光会不会也和声音一样，是一种波？杨做了著名的杨氏干涉实验，为光的波动说奠定了基础。

这个理论在当时并没有受到应有的重视，还被权威们讥为“荒唐”和“不合逻辑”，这个自牛顿以来在物理光学上最重要的研究成果，就这样被缺乏科学讨论气氛的守旧的舆论压制了近20年。杨并没有向权威低头，而是为此撰写了一篇论文，不过论文无处发表，只好印成小册子，据说发行后“只印出了一本”。杨在论文中勇敢地反击：“尽管我仰慕牛顿的大名，但是我并不因此而认为他是万无一失的。我遗憾地看到，他也会弄错，而他的权威有时甚至可能阻碍科学的进步。”

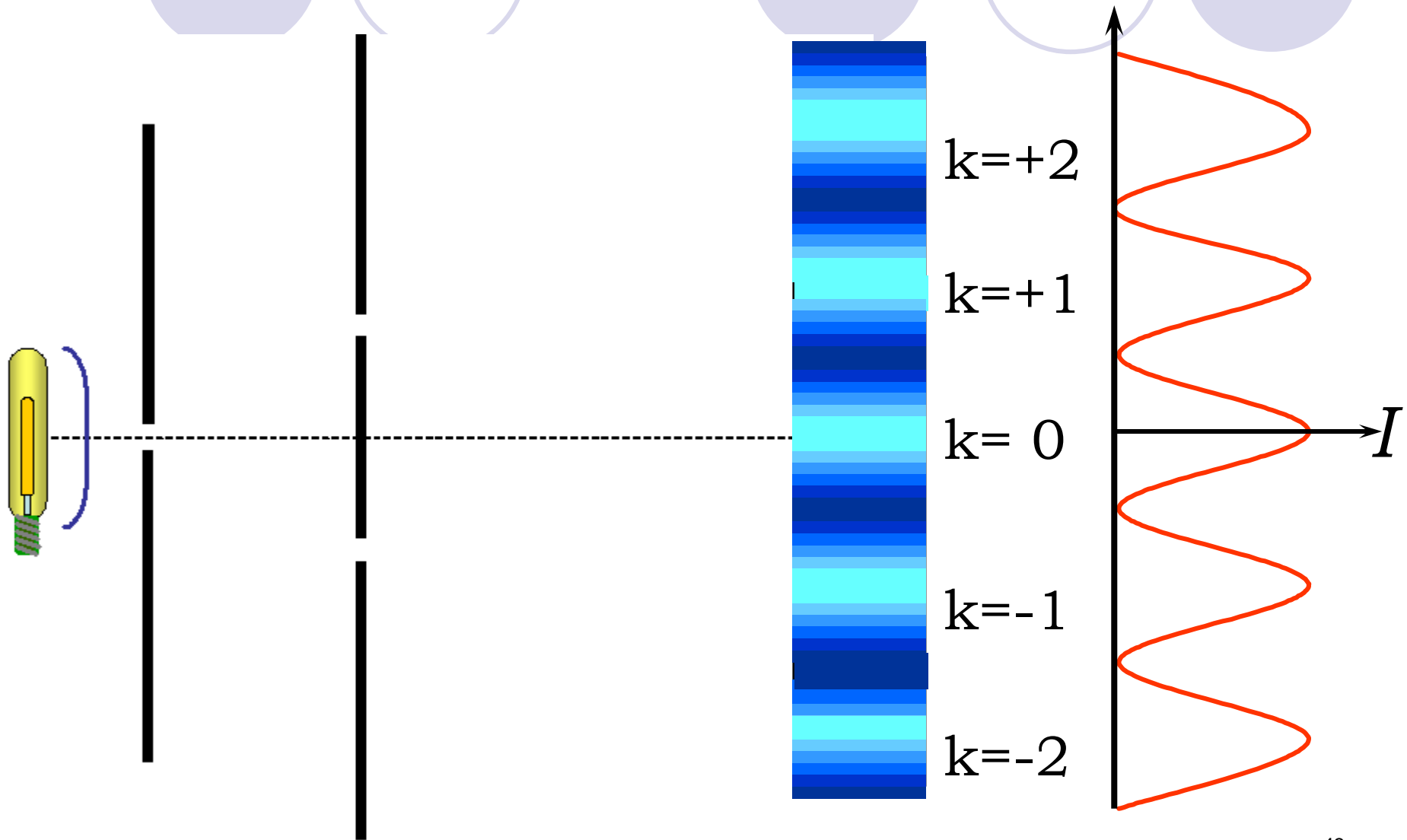
他不仅在物理学领域领袖群英、名享世界，而且涉猎甚广，光波学、声波学、流体动力学、造船工程、潮汐理论、毛细作用、用摆测量引力、虹的理论……力学、数学、光学、声学、语言学、动物学、埃及学……他对艺术还颇有兴趣，热爱美术，几乎会演奏当时的所有乐器，并且会制造天文器材，还研究了保险经济问题。而且托马斯·杨擅长骑马，并且会耍杂技走钢丝。

### 3、Division of wavefront: 杨氏干涉

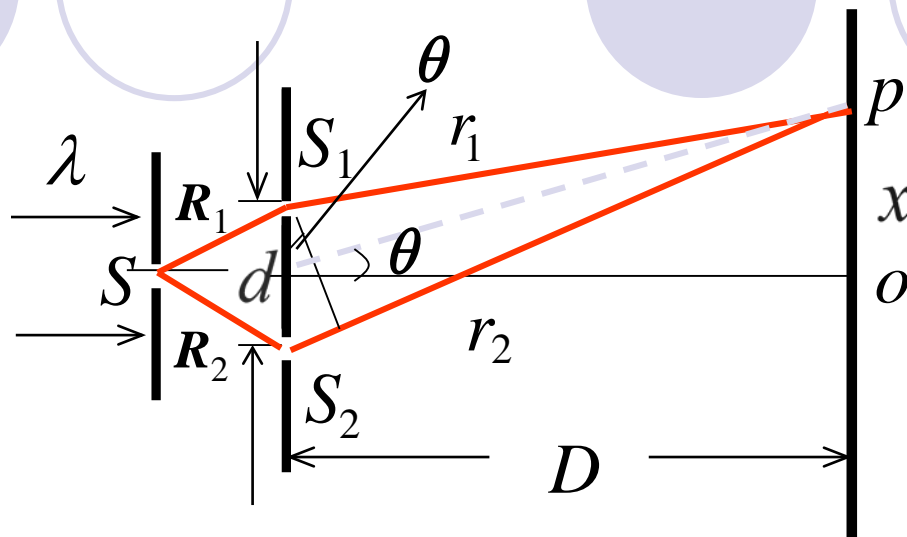
#### Thomas Young's Double Slit Experiment



### 3、Division of wavefront: 杨氏干涉



### 3、 Division of wavefront: 杨氏干涉



$$I(P) = I_1(P) + I_2(P) + 2\sqrt{I_1 I_2} \cos \delta(P)$$

$$\delta = \frac{2\pi}{\lambda} [(R_2 + r_2) - (R_1 + r_1)]$$

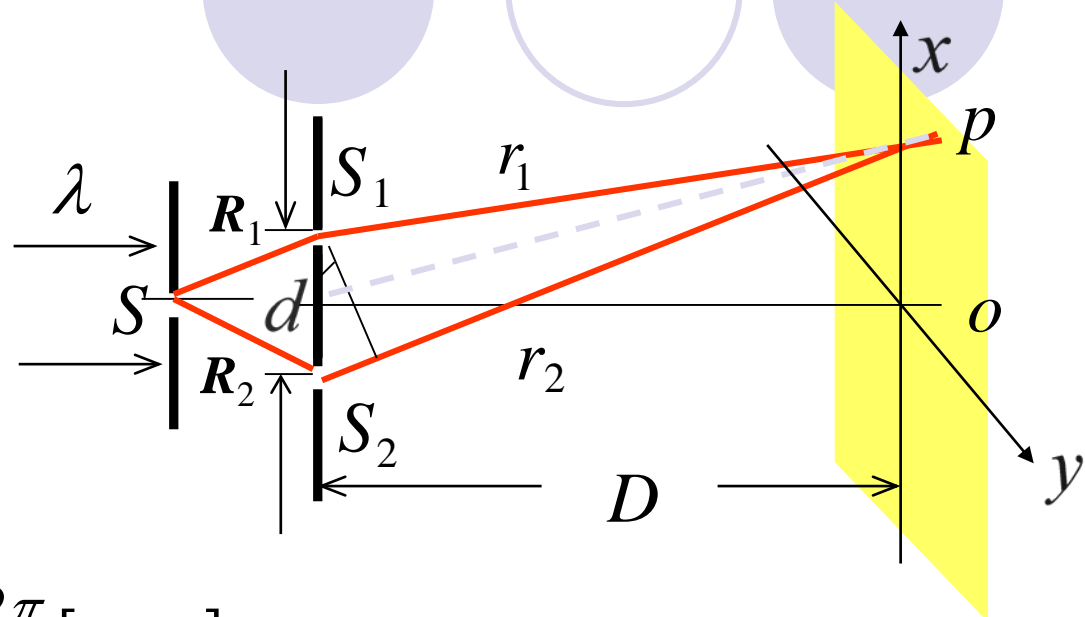
$r_1 - r_2$ 相同的点，干涉情况相同。数学证明： $r_1 - r_2 = \text{constant}$ 的点的轨迹是以两点光源为焦点的回旋双曲面。



### 3、Division of wavefront: 杨氏干涉

屏上 $p$ 点

对称装置,  $R_1 = R_2$



$$\delta = \frac{2\pi}{\lambda} [(R_2 + r_2) - (R_1 + r_1)] = \frac{2\pi}{\lambda} [r_2 - r_1]$$

$$r_1 = \sqrt{D^2 + (x - \frac{1}{2}d)^2 + y^2}$$

$$r_2 = \sqrt{D^2 + (x + \frac{1}{2}d)^2 + y^2}$$

$$d, x, y \ll D$$

$$r_2 - r_1 \approx \frac{d}{D}x$$

$$\delta = \frac{2\pi}{\lambda} \frac{d}{D}x$$

### 3、Division of wavefront: 杨氏干涉

$$I(P) = I_1(P) + I_2(P) + 2\sqrt{I_1 I_2} \cos \delta(P) \quad \delta = \frac{2\pi d}{\lambda D} x$$

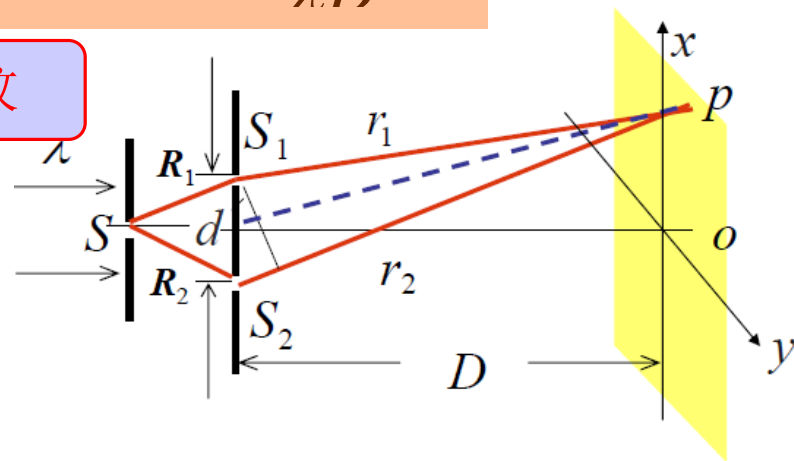
If  $\delta = 2k\pi$ , 干涉相长

$k=0$ , 零级亮纹

产生亮条纹 @  $x = (D/d)k\lambda$

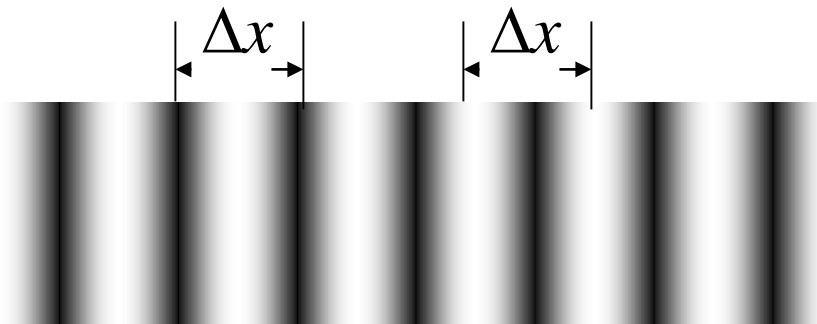
If  $\delta = (2k+1)\pi$ , 干涉相消

形成暗条纹 @  $x = (D/d)(k+1/2)\lambda$



这样，紧靠 $o$ 点附近的干涉图样由一系列亮带和暗带组成，称为干涉条纹。它们是等距的，其走向与两光源连线 $S_1S_2$ 垂直。

条纹间距 $\Delta x = (D/d)\lambda$ 定义为相邻两条亮纹或者暗纹之间的距离



**例题：**杨氏干涉装置中，双孔间距 $d=0.233\text{mm}$ ，屏幕到小孔的距离 $D=100\text{cm}$ ，单色光照明，测得条纹间距 $\Delta x=2.53\text{mm}$ ，求单色光波长。

$$\Delta x \equiv \frac{D}{d} \lambda$$



$$\lambda = \frac{d}{D} \Delta x$$

$$= \frac{0.0233}{100} \times 0.253\text{cm}$$

$$= 5.89 \times 10^{-5} \text{cm}$$

$$= 589\text{nm}$$

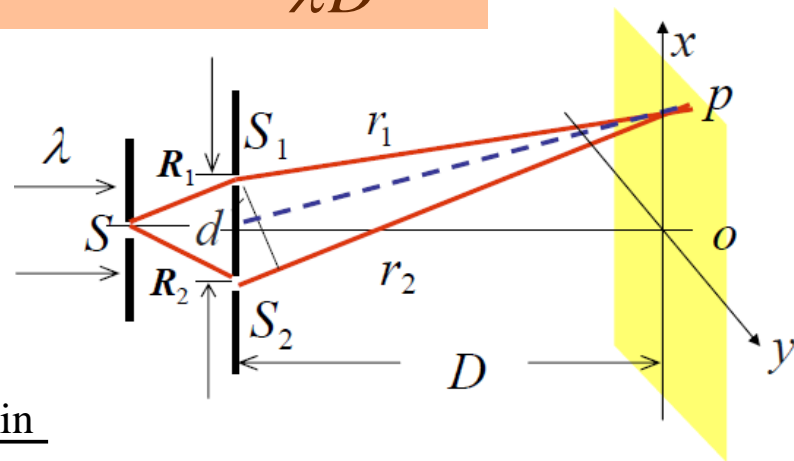
### 3、Division of wavefront: 杨氏干涉

$$I(P) = I_1(P) + I_2(P) + 2\sqrt{I_1 I_2} \cos \delta(P) \quad \delta = \frac{2\pi d}{\lambda D} x$$

$$I_{\max} = I_1 + I_2 + 2\sqrt{I_1 I_2}$$

$$I_{\min} = I_1 + I_2 - 2\sqrt{I_1 I_2}$$

条纹可见度(衬比度):  $\gamma = \frac{I_{\max} - I_{\min}}{I_{\max} + I_{\min}}$



$$\gamma = \frac{2\sqrt{I_1 I_2}}{I_1 + I_2} \xrightarrow{I \propto A^2} \gamma = \frac{2 \frac{A_1}{A_2}}{1 + \left(\frac{A_1}{A_2}\right)^2} \quad \text{或} \quad \gamma = \frac{2 \frac{A_2}{A_1}}{1 + \left(\frac{A_2}{A_1}\right)^2}$$

需要指出的是，该式中的振幅是参与相干叠加的振幅，也即振动方向一致的那两个振幅分量之比值。相互垂直的振幅分量不参与干涉。

### 3、Division of wavefront: 杨氏干涉

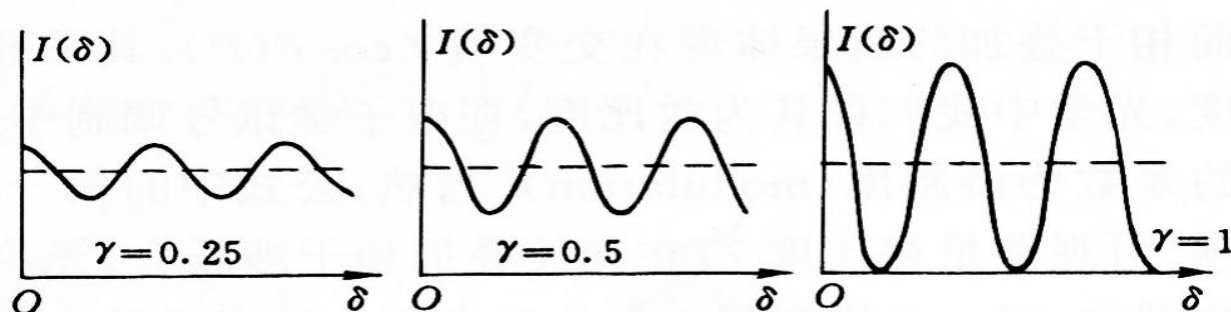


图 2.14 干涉场强度起伏程度由衬比度描述

If  $I_1 = I_2 = I_0$ ,  $\gamma = 1$

$$I = 2I_0(1 + \cos \delta) = 4I_0 \cos^2\left(\frac{\delta}{2}\right) = 4I_0 \cos^2\left(\frac{\pi d}{\lambda D} x\right)$$

余弦变化

### 3、Division of wavefront: 杨氏干涉

$$\frac{A_1}{A_2} = 1 \rightarrow \gamma = 1$$

$$\frac{A_1}{A_2} = 3 \rightarrow \gamma = 0.6$$

$$\frac{A_1}{A_2} = 10 \rightarrow \gamma = 0.2$$

$$0 \leq \gamma \leq 1$$

双光束干涉强度公式可以写成衬比度的形式：

$$I = I_0(1 + \gamma \cos \delta(P)), \quad I_0 = I_1 + I_2$$

结论：实验中获得高衬比度的干涉图样，需要：

参与相干叠加的两光束，振幅尽量相等

### 3、 Division of wavefront: 杨氏干涉

衬比度的决定因素之一：（双光束）振幅比

衬比度的决定因素之二：偏振

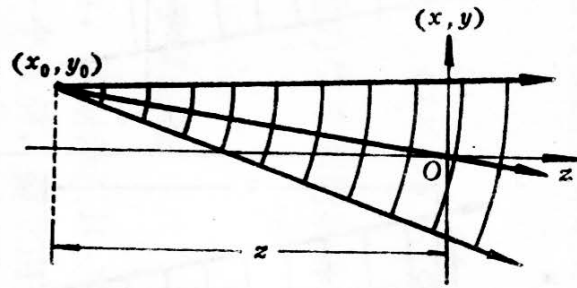
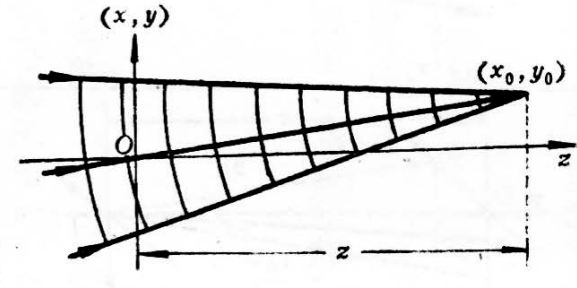
思考题

### 3、Division of wavefront: 杨氏干涉

前面处理干涉问题的主要手段是求解光程差，下面我们用波前函数处理干涉，更简单明了。

#### 干涉条纹分析方法二：波前函数分析法

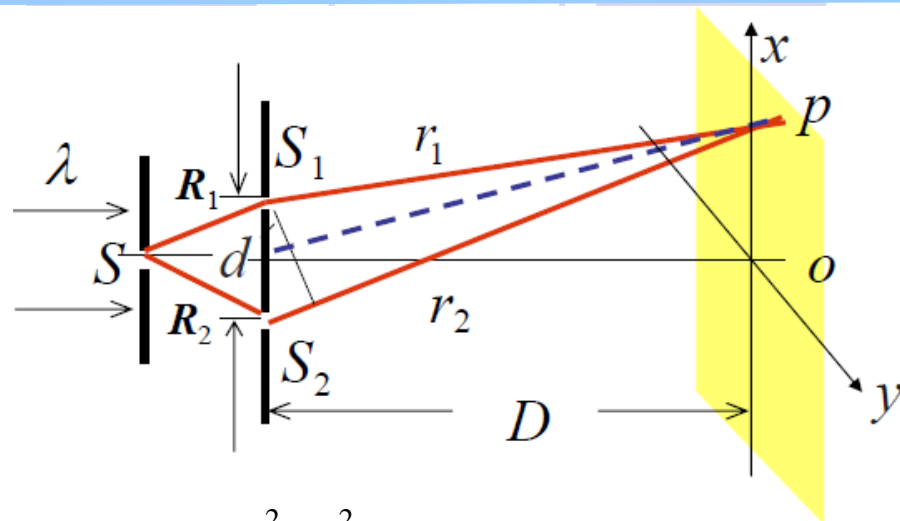
复习第二章内容：

波 的 类 型	特 征	相 因 子	图 解
(4) 发散球面波	中心在轴外 坐标 $(x_0, y_0, -z)$	$\exp\left[ik\left(\frac{x^2+y^2}{2z} - \frac{xx_0+yy_0}{z}\right)\right]$	
(5) 会聚球面波	中心在轴外 坐标 $(x_0, y_0, z)$	$\exp\left[-ik\left(\frac{x^2+y^2}{2z} - \frac{xx_0+yy_0}{z}\right)\right]$	



### 3、Division of wavefront: 杨氏干涉

波前函数分析法



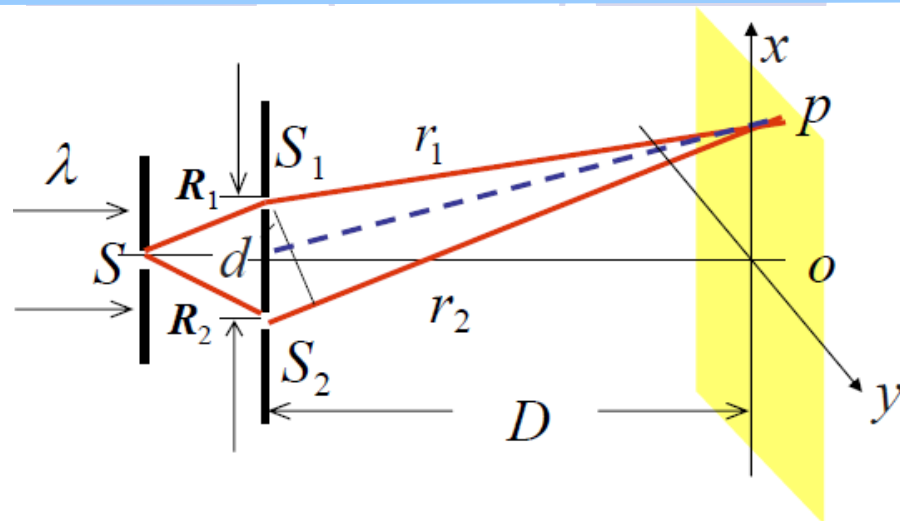
$$\tilde{U}_{1\text{或}2}(x, y) = \frac{A_{1\text{或}2}}{D} e^{ik \frac{x^2 + y^2}{2z_0}} \cdot e^{-ik \frac{xx_0 + yy_0}{z_0}} = A e^{ik \frac{x^2 + y^2}{2z_0}} \cdot e^{-ik \frac{xx_0 + yy_0}{z_0}}$$

$$\tilde{U}_1, \quad x_0 = \frac{d}{2}, y_0 = 0, z_0 = D \quad \tilde{U}_2, \quad x_0 = -\frac{d}{2}, y_0 = 0, z_0 = D$$

$$\tilde{U} = \tilde{U}_1 + \tilde{U}_2$$

### 3、Division of wavefront: 杨氏干涉

波前函数分析法

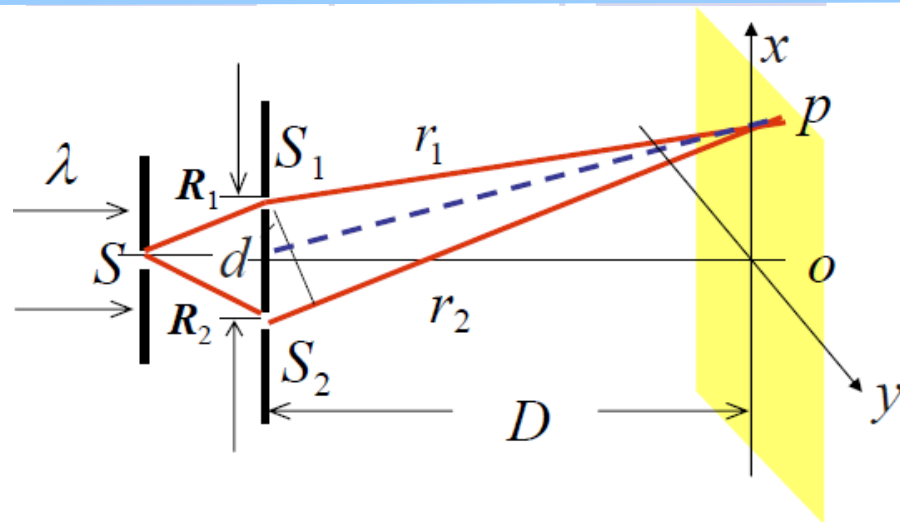


$$\begin{aligned} I(x, y) &= (\tilde{U}_1 + \tilde{U}_2) \cdot (\tilde{U}_1 + \tilde{U}_2)^* \\ &= \tilde{U}_1 \cdot \tilde{U}_1^* + \tilde{U}_2 \cdot \tilde{U}_2^* + \tilde{U}_1 \cdot \tilde{U}_2^* + \tilde{U}_2 \cdot \tilde{U}_1^* \\ &= 2A^2 + 2A^2 \cos \left[ k \frac{d}{D} x \right] \\ &= 2I_0 \left[ 1 + \cos \left( \frac{2\pi d}{\lambda D} x \right) \right] \end{aligned}$$

### 3、 Division of wavefront: 杨氏干涉

#### 时间尺度问题

- 接收者或探测器的时间响应;
- 干涉项中场点相位差的时间稳定, 包括两光源的相位稳定和传播过程中的相位稳定;
- 观测时间;
- 光扰动周期.



如何才能观测到稳定的杨氏干涉现象?

## ● 关于杨氏干涉的进一步说明：

### 1、非单一波长照明—如白光照明

$$\text{条纹间距: } \Delta x = \frac{D}{d} \lambda$$

波长越长，条纹间距越大，但是零级亮纹的位置相同。

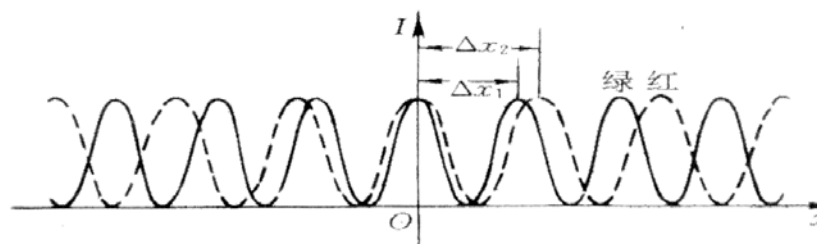


图 2-5 不同色光形成的干涉条纹



## ● 关于杨氏干涉的进一步说明：

### 1、非单一波长照明—如白光照明

**例题：**蓝绿光为杨氏干涉实验的光源，波长范围 $\Delta\lambda=100\text{nm}$ ，中心波长 $\lambda=490\text{nm}$ ，估算第几级开始条纹变得无法辨认？

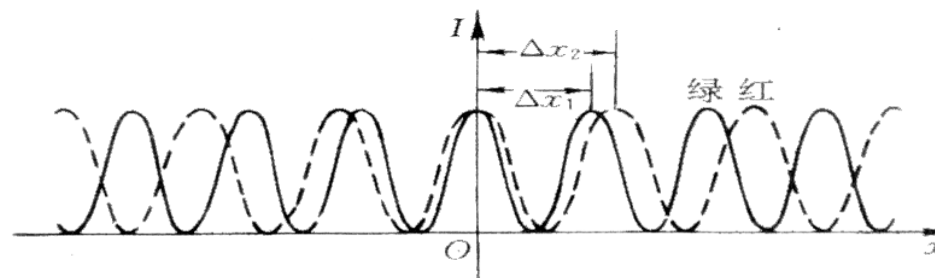
$$\text{长波长: } \lambda + \frac{1}{2}\Delta\lambda \qquad \text{短波长: } \lambda - \frac{1}{2}\Delta\lambda$$

当长波长的 $k$ 级亮条纹和短波长的 $k+1$ 级亮条纹重合，条纹无法辨认，所以：

$$\begin{array}{ccc} k\Delta x_{\text{长}} & = & (k+1)\Delta x_{\text{短}} \\ \Downarrow & & \Downarrow \\ k \frac{D}{d} \left( \lambda + \frac{1}{2}\Delta\lambda \right) & = & (k+1) \frac{D}{d} \left( \lambda - \frac{1}{2}\Delta\lambda \right) \end{array}$$

$$\text{于是: } k\Delta\lambda = \lambda - \frac{\Delta\lambda}{2}$$

$$\text{代入数值: } k = \frac{440}{100} = 4.4$$



**结论：**从第四级开始条纹变得不可分辨。

图 2-5 不同色光形成的干涉条纹

## ● 关于杨氏干涉的进一步说明：

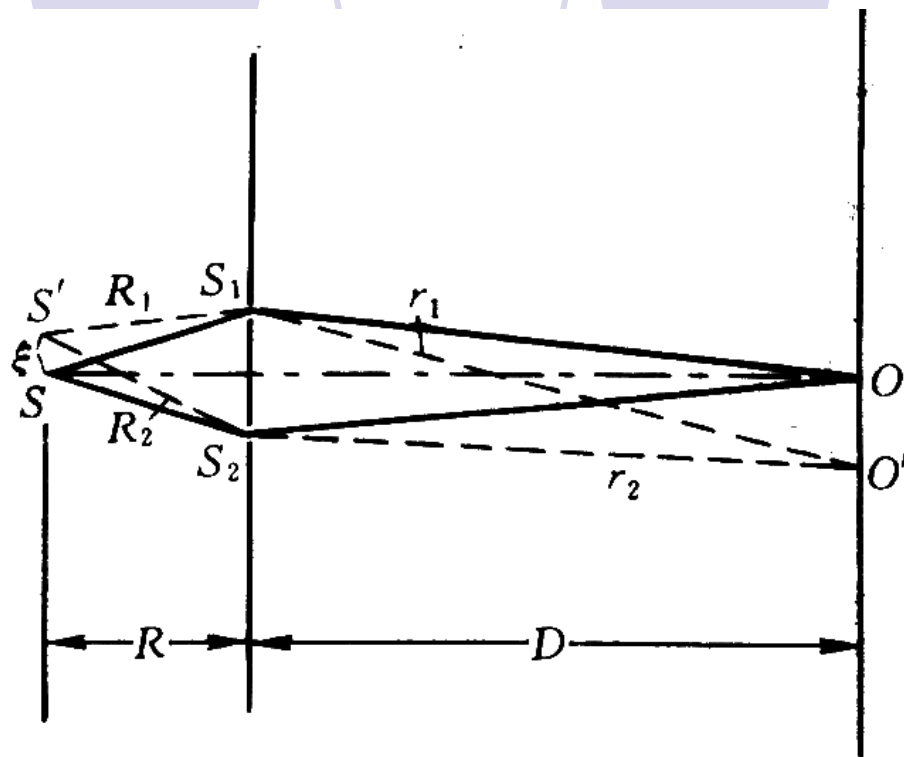
### 2、光源不在对称轴上

$$r_1 = \sqrt{D^2 + \left(x - \frac{1}{2}d\right)^2}$$

$$r_2 = \sqrt{D^2 + \left(x + \frac{1}{2}d\right)^2}$$

$$R_1 = \sqrt{R^2 + \left(\xi - \frac{1}{2}d\right)^2}$$

$$R_2 = \sqrt{R^2 + \left(\xi + \frac{1}{2}d\right)^2}$$



$$\delta = \frac{2\pi}{\lambda} [(R_2 + r_2) - (R_1 + r_1)] \xrightarrow{\xi, d, x \ll D, R} \delta \approx \frac{2\pi}{\lambda} \left( \frac{d}{R} \xi + \frac{d}{D} x \right)$$

## ● 关于杨氏干涉的进一步说明：

### 2、光源不在对称轴上

$$\delta \approx \frac{2\pi}{\lambda} \left( \frac{d}{R} \xi + \frac{d}{D} x \right)$$

A、零级亮纹的位置：

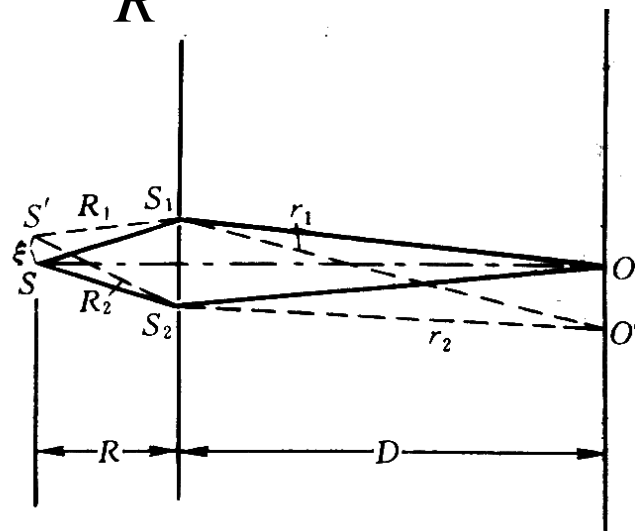
$$\delta = 0 \longrightarrow \frac{d}{R} \xi + \frac{d}{D} x_0 = 0 \longrightarrow x_0 = -\frac{D}{R} \xi$$

零级亮条纹沿 $\xi$ 的反方向移动了 $(D/R)\xi$

B、条纹间距：

$$\frac{d}{R} \xi + \frac{d}{D} x_k = k\lambda \rightarrow x_k = \frac{D}{d} k\lambda - \frac{D}{R} \xi$$

$$\Delta x = x_{k+1} - x_k = \frac{D}{d} \lambda \quad \text{条纹间距不变。}$$



C、干涉强度分布（设 $I_1=I_2=I_0$ ）

对称时的强度分布： $I = 2I_0(1 + \cos \delta) = 4I_0 \cos^2\left(\frac{\delta}{2}\right) = 4I_0 \cos^2\left(\frac{\pi d}{\lambda D} x\right)$

不对称时的强度分布： $I = 4I_0 \cos^2\left(\frac{\pi d}{\lambda D} \left(x + \frac{D}{R} \xi\right)\right)$

# ● 关于杨氏干涉的进一步说明：

## 3、光源宽度对干涉条纹的影响

光源宽度为 $b$ ，非相干、均匀。  
总的干涉场为各个点源的干涉场的非相干叠加。

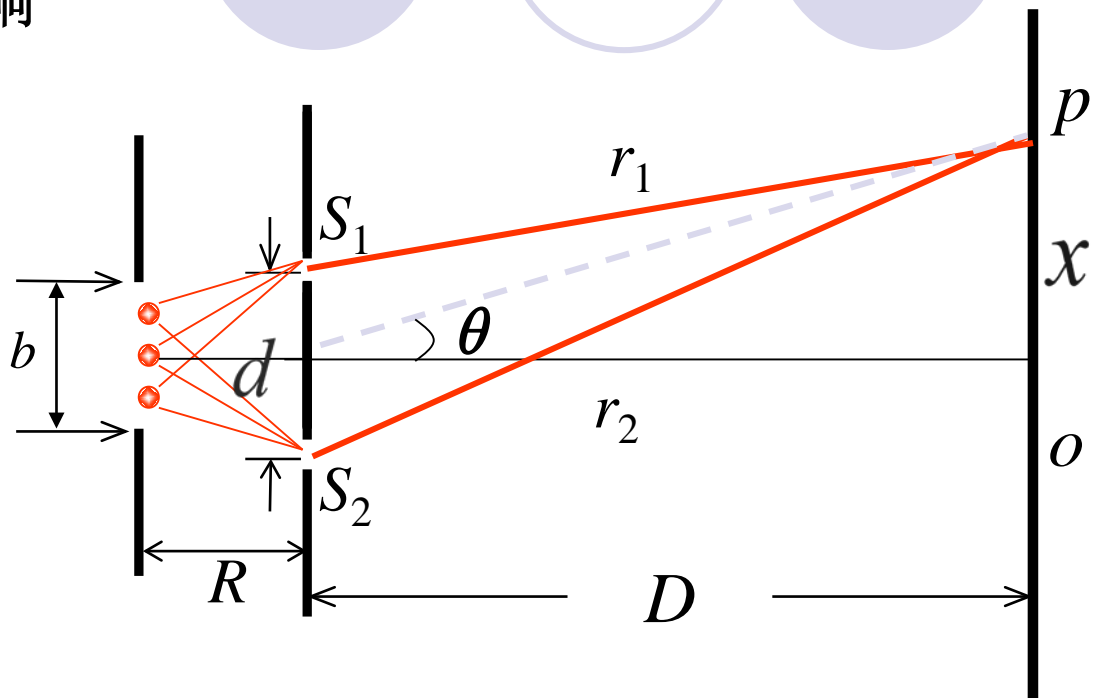
$$dI_1(\xi) = dI_2(\xi) = \frac{I_0}{b} d\xi$$

$$dI(x) = 4 \frac{I_0}{b} d\xi \cos^2 \left( \frac{\pi d}{\lambda D} \left( x + \frac{D}{R} \xi \right) \right)$$

$$I(x) = \int_{-\frac{b}{2}}^{\frac{b}{2}} dI(\xi) = 4 \frac{I_0}{b} \int_{-\frac{b}{2}}^{\frac{b}{2}} \cos^2 \left( \frac{\pi d}{\lambda D} \left( x + \frac{D}{R} \xi \right) \right) d\xi$$

$$= 2I_0 \left( 1 + \frac{\lambda R}{\pi db} \sin \left( \frac{\pi db}{\lambda R} \right) \cos \left( \frac{2\pi d}{\lambda D} x \right) \right)$$

$\boxed{\frac{\pi db}{\lambda R}} \xrightarrow{u}$ 
 $\Rightarrow I(x) = 2I_0 \left( 1 + \frac{1}{u} \sin u \cdot \cos \left( \frac{2\pi d}{\lambda D} x \right) \right)$





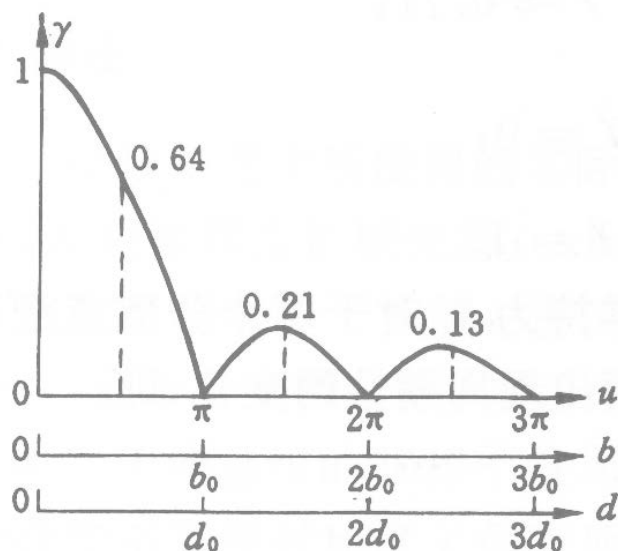
## ● 关于杨氏干涉的进一步说明：

### 3、光源宽度对干涉条纹的影响

衬比度：
$$I_M = 2I_0 \left( 1 + \left| \frac{1}{u} \sin u \right| \right) \quad I_m = 2I_0 \left( 1 - \left| \frac{1}{u} \sin u \right| \right)$$

$$\gamma = \frac{I_M - I_m}{I_M + I_m} = \left| \frac{\sin u}{u} \right|$$

光源极限宽度：第一次衬比度降为零的光源宽度为光源的极限宽度。



$$\frac{\pi d}{\lambda R} b_0 = \pi \Rightarrow b_0 = \lambda R \frac{1}{d}$$

图 4.11 线光源照明时的衬比度曲线

## ● 关于杨氏干涉的进一步说明：

### 3、光源宽度对干涉条纹的影响



$$\frac{\pi d}{\lambda R} b_0 = \pi \Rightarrow b_0 = \lambda R \frac{1}{d}$$

## ● 关于杨氏干涉的进一步说明：

### 3、光源宽度对干涉条纹的影响

引申：如果 **$b$** 确定，能够干涉的 **$S_1$** 和 **$S_2$** 的距离也有个极限值。

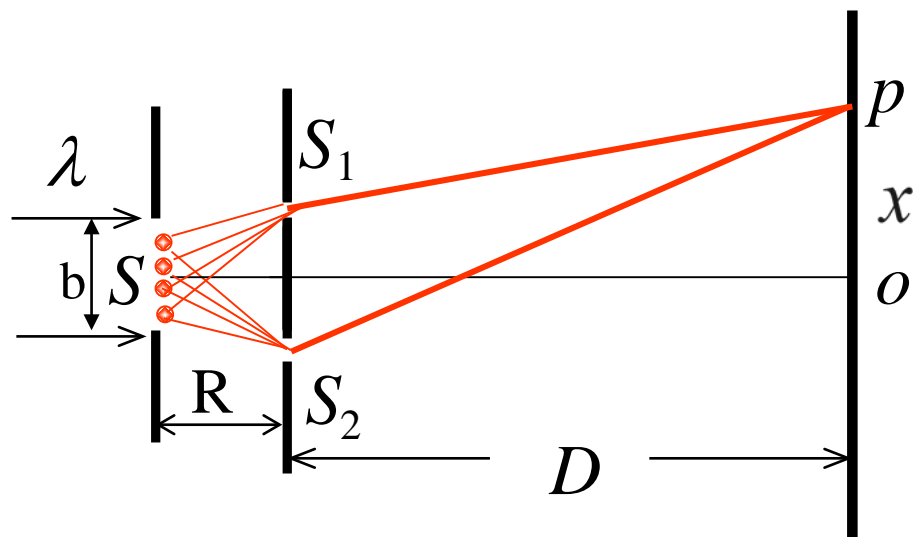
$$\frac{\pi b}{\lambda R} d_0 = \pi \Rightarrow d_0 = \lambda R \frac{1}{b}$$



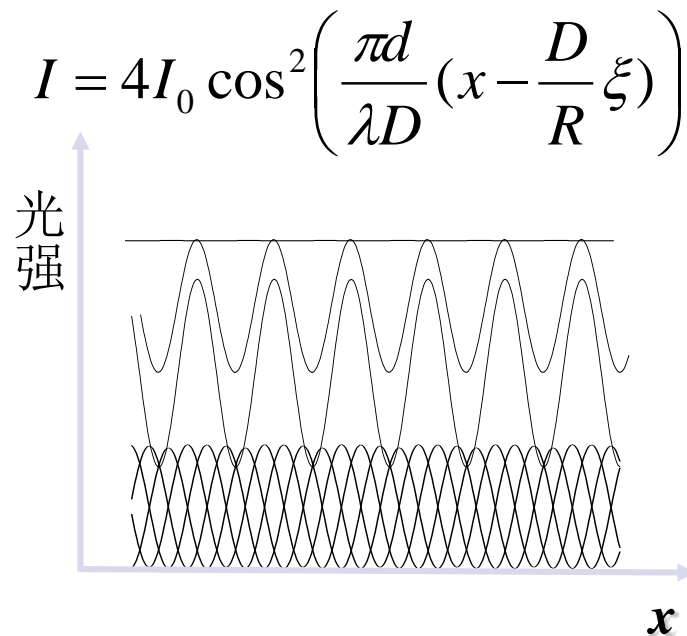
# ● 关于杨氏干涉的进一步说明：

## 3、光源宽度对干涉条纹的影响

对于光源极限宽度的直观解释



$$b < \lambda R \frac{1}{d}$$



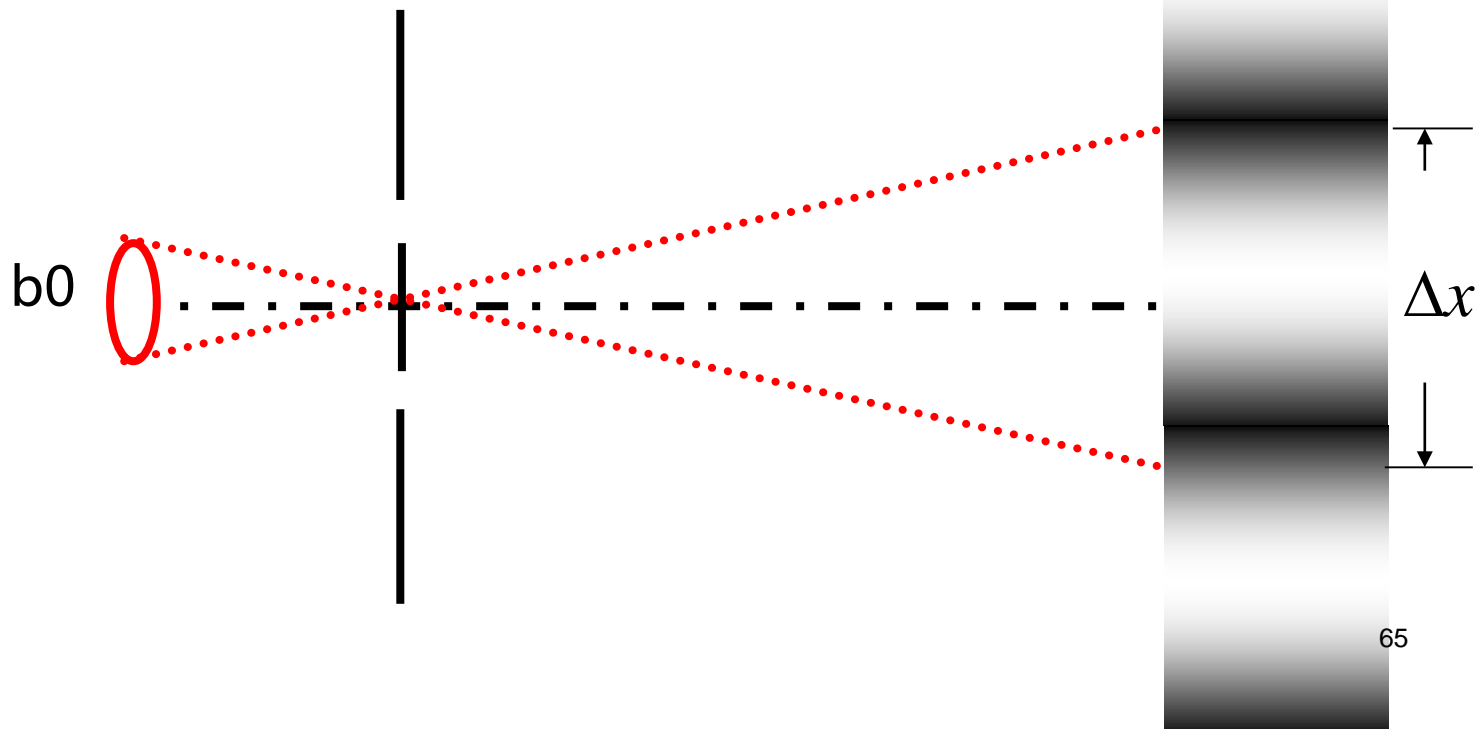
## ● 关于杨氏干涉的进一步说明：

### 3、光源宽度对干涉条纹的影响

光源  $b_0 = \lambda R \frac{1}{d}$

$$\Rightarrow \frac{b_0}{\Delta x} = \frac{R}{D}$$

干涉场  $\Delta x = \frac{D}{d} \lambda$



**例题1**：设 $R=40\text{cm}$ ， $d=1\text{mm}$ ， $\lambda=600\text{nm}$ ，求光源的极限宽度？

$$b_0 = \lambda R \frac{1}{d} = \frac{400 \times 0.6 \times 10^{-3}}{1} \text{mm} = 0.24 \text{mm}$$

光源宽度 $b$ 限定为 $1.2\text{mm}$ ，求双孔极限间距 $d_0$ ？

$$d_0 = \lambda R \frac{1}{b} = \frac{400 \times 0.6 \times 10^{-3}}{1.2} \text{mm} = 0.20 \text{mm}$$

**例题2**：一杨氏干涉装置以太阳为光源，当双缝的距离增大到 $59\mu\text{m}$ 时，干涉条纹消失。光的有效波长为 $550\text{nm}$ ，太阳到地球的距离 $R=1.5 \times 10^8 \text{km}$ 。求太阳对地球的视角和太阳的直径？

太阳直径：

$$b_0 = \lambda R \frac{1}{d} = \frac{1.5 \times 10^8 \text{km} \times 550 \text{nm}}{59 \mu\text{m}} = 1.4 \times 10^6 \text{km}$$

太阳对地球的视角：

$$\varphi = \frac{b_0}{R} = 0.0093 \text{rad}$$

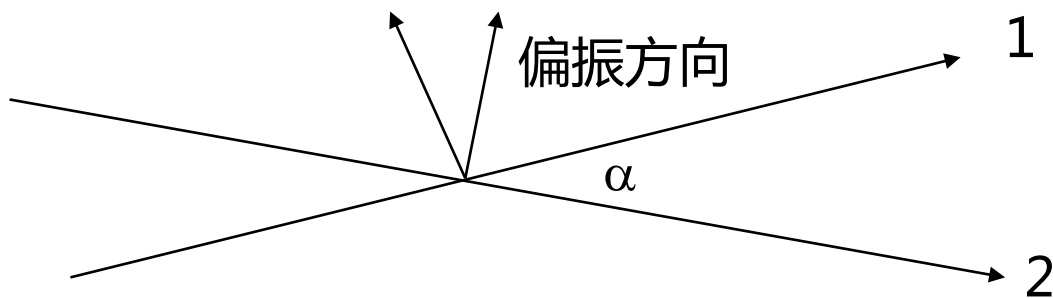


## 杨氏干涉实验意义：

1. 利用分波前法实现普通光源照明下的光波干涉，各种分波前干涉装置均可归结成杨氏双孔干涉模式。
2. 证实了惠更斯原理中提出的次波的存在，并证明了波前上各次波源的相干性，为光波衍射理论形成了思想基础。
3. 以杨氏双空干涉模型为基础展开对光场的空间相干性、光学全息术等等问题的讨论。

## 作业：

1. 求干涉的衬比度随两相干光束夹角 $\alpha$ 的变化：两束光为p偏振，光强 $I_1 = mI_2$



2. 三束等光强、偏振方向相同、相干平行光，如下图所示，求屏幕H上的光强分布。

